

## **BAB III**

### **METODE PENELITIAN**

#### **3.1. Metode Analisis**

##### **3.1.1. Studi literatur**

Studi literatur dilakukan dengan mencari teori yang relevan dan penelitian-penelitian yang terdahulu dalam kesamaan kasus permasalahan, serta berbagai peraturan-peraturan terbaru, seperti penentu beban gempa BSN, SNI 1726-2012 dengan mengikuti Peta Gempa 2017, penentu beban angin BSN, SNI 1727-2013 dan perancangan bangunan yang ditinjau peraturan persyaratan baja untuk bangunan gedung BSN, SNI 1729-2015 dan persyaratan beton untuk bangunan gedung BSN, SNI 2847-2013.

##### **3.1.2. Pengumpulan data**

Data yang diperoleh, didapatkan dari pelaksanaan pembangunan salah satu apartemen berlantai 33 yang berada di Surabaya, langsung dari (kontraktor BUMN) antara lain gambar struktur fortender, dan data penyelidikan tanah dalam bentuk *soft file*, dikarenakan data proyek mencakup banyak aspek, baik itu *owner*, kontraktor, dan antar pihak-pihak konsultal, maka dalam penelitian ini, nama dari data proyek sengaja tidak informasikan.

##### **3.1.3. Pemodelan struktur**

Pembuatan pemodelan struktur apartemen berlantai 33 berdasarkan gambar struktur fortender, yang dimodelkan secara 3D menggunakan program ETABS versi 16.2.1 dengan pemodelan 2 model yaitu dengan data dari element struktur fortender dan data dari element struktur fortender dengan penambahan sistem elemen *outrigger* dan *belt-truss* yang ditempatkan pada lantai 16, diambil dari (tiga penelitian yaitu (Reihaneh, Reza, & Reza, 2019) pada 0,47 h; (Han, 2017) pada 0,312 h – 0,685 h; (Reza & Reza, 2017) pada 0,441 h). Pendefinisikan elemen struktur meliputi; dimensi penampang elemen struktur; parameter spesifikasi bahan struktur; dan desain *load* yang didapat dari gambar struktur fortender yang dimodelkan sesuai gambar fortender.

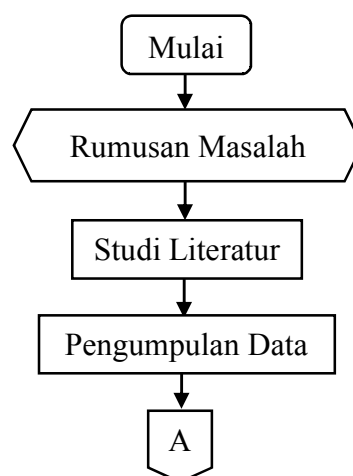
Pembebanan yang dihitung adalah beban angin, dan beban gempa yang diinputkan ke dalam program ETABS dengan tambahan desain *load*, dilanjutkan menempatkan *assign* data ke struktur seperti; *assign* penampang; *assign* beban yang bekerja. Proses *running* untuk mencari response struktur dan pemeriksaan *input* data, dari control perilaku model deformasi yang terjadi pada elemen struktur kedua model, dan mengetahui gaya-gaya pada element struktur untuk mendesain kebutuhan dimensi dari sistem struktur *outrigger* dan *belt-truss* hanya pada model data dari element struktur fortender dengan penambahan elemen *outrigger* dan *belt-truss* saja.

### 3.1.4. Perbandingan elemen struktural

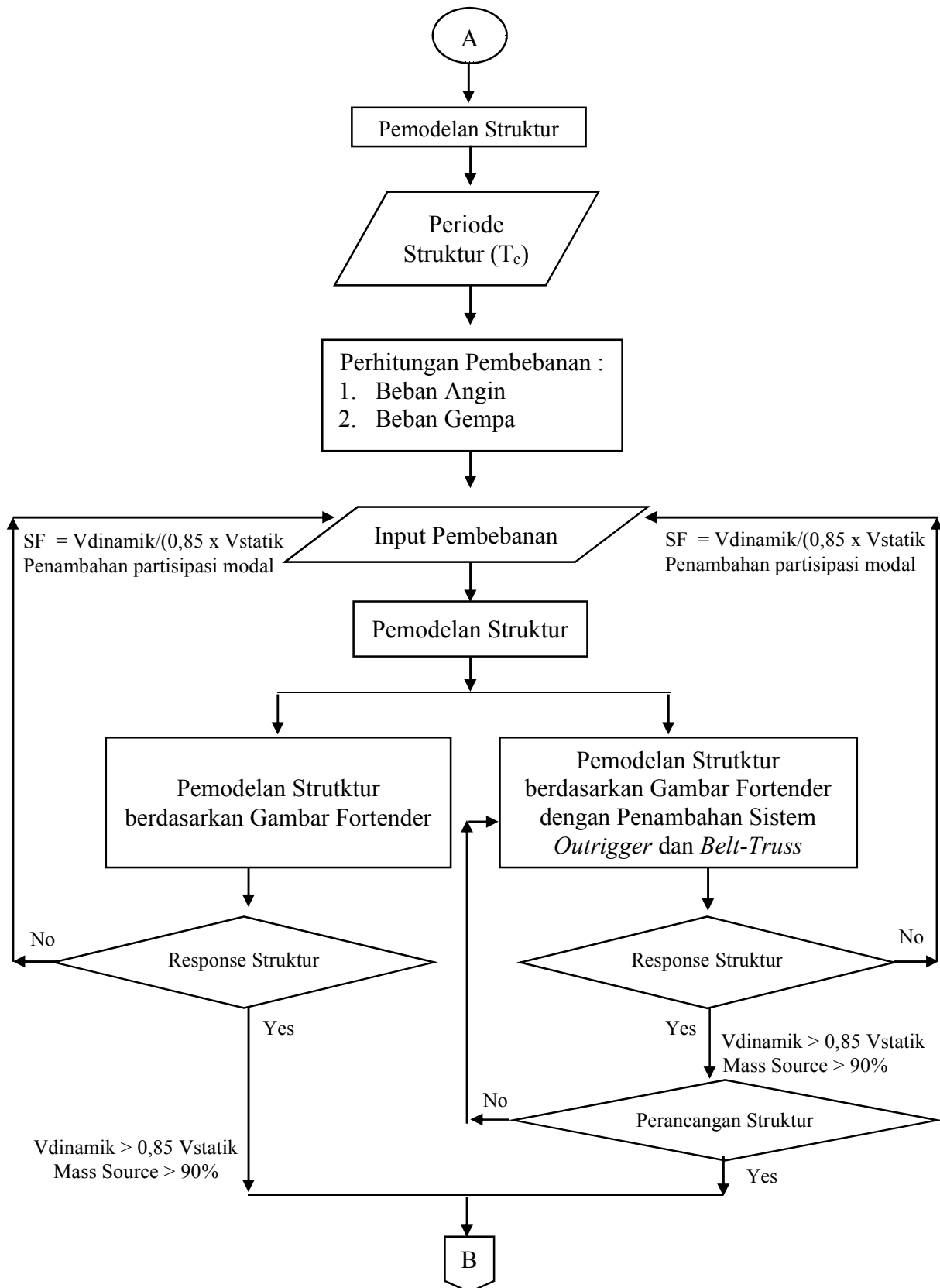
Penarikan kesimpulan dengan membandingkan antara respons struktur pada elemen struktur yang dirancang menurut gambar fortender, dan pada elemen struktur menggunakan penambahan sistem elemen struktur *outrigger* dan *belt-truss*, sampai pada kesimpulan akhir yaitu mendapatkan desain apartemen menggunakan sistem *outrigger* dan *belt-truss* yang tertuang dalam bentuk gambar teknik.

### 3.2. Diagram Alir Penelitian

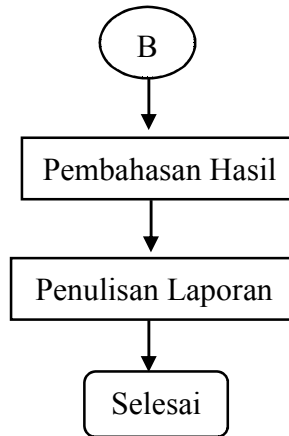
Diagram bagan alir merupakan gambaran umum dari tahapan-tahapan yang dilakukan untuk menyelesaikan suatu penelitian, maka untuk membandingkan desain struktur apartemen berlantai 33 dengan modifikasi penambahan sistem *outrigger* dan *belt-truss*, dengan skema sesuai gambar 3.1 berikut :



Gambar 3.1 Diagram alir penelitian.



Gambar 3.1 Diagram alir penelitian (-lanjutan).



Gambar 3.1 Diagram alir penelitian (-lanjutan).

### 3.3. Data Apartemen

Data apartemen yang digunakan untuk membandingkan desain struktur apartemen berlantai 33 dengan modifikasi penambahan sistem *outrigger* dan *belt-truss*, menggunakan data-data sebagai berikut :

#### 3.3.1. Data deskripsi apartemen

##### a. Data umum apartemen

Berikut informasi data umum bangunan, sebagai berikut :

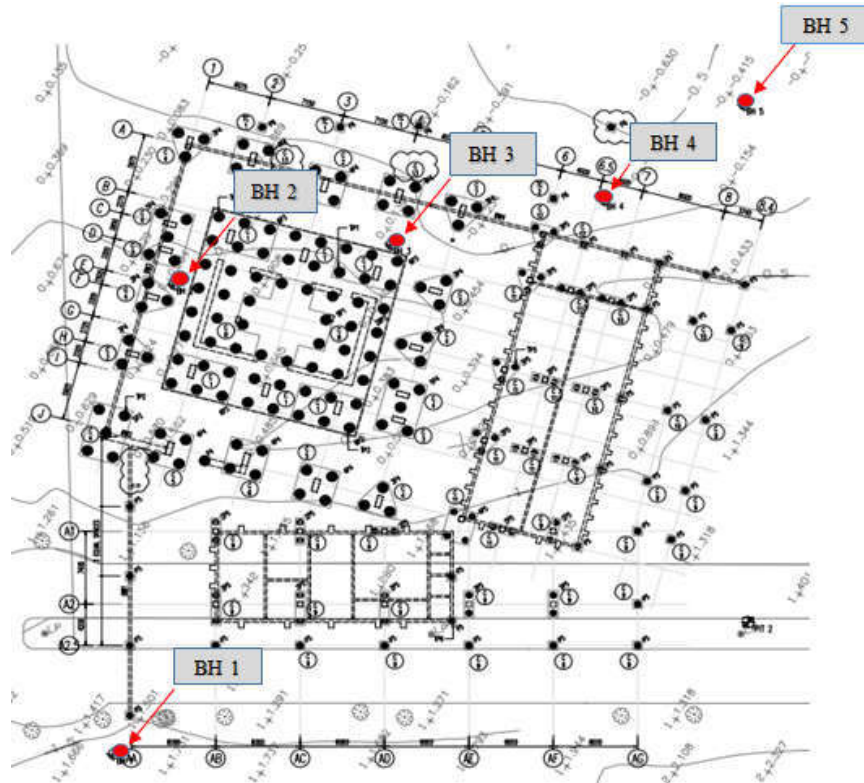
Fungsi bangunan : Apartemen  
 Sistem struktur : Sistem ganda (SPRM-K dan dinding geser)  
 Lokasi : Surabaya

Tabel 3.1 Data geometri struktur apartemen

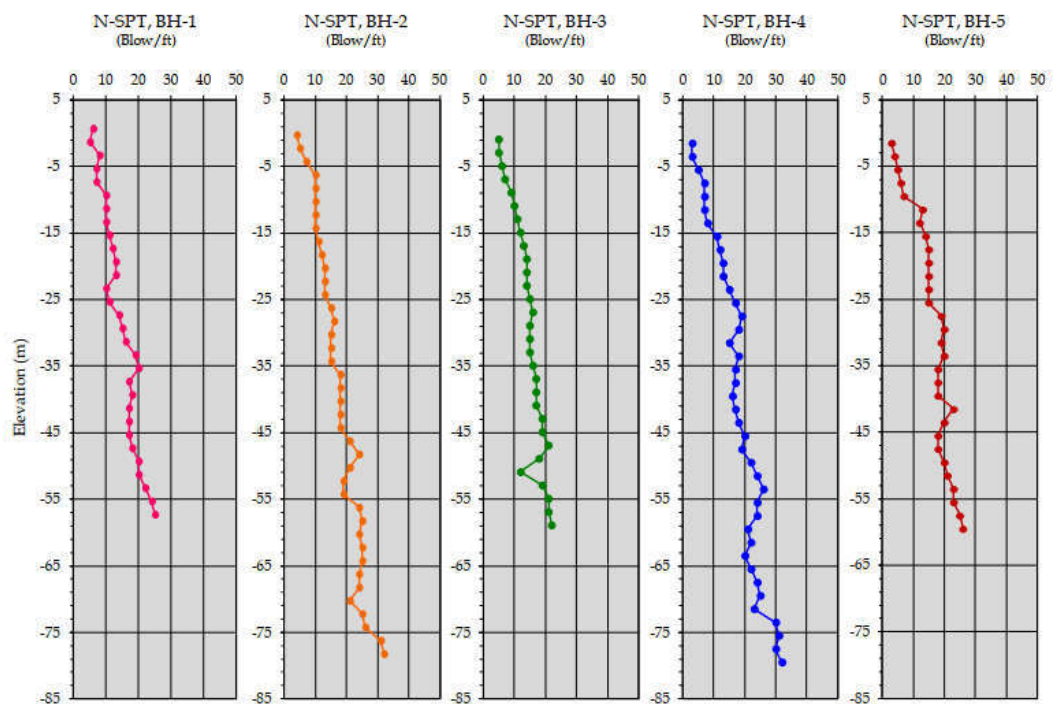
| Data Teknik             | Keterangan dan Spesifikasi                           |
|-------------------------|--|
| Luas lahan dan bangunan | $\pm 6779,04 \text{ m}^2$ dan $38569,83 \text{ m}^2$ |
| Level terendah          | -5.0 m   |
| Level tertinggi         | +130.5 m   |
| Jumlah Lantai           | 2 Basement, + 3 Podium, + 33 Lantai Tower            |

##### b. Data tanah

Data denah letak titik-titik penyelidikan tanah, pada gambar 3.2 terdapat 5 titik pengeboran yang telah ditentukan oleh konsultan teknik, kemudian disusun dalam deskripsi visual lapisan-lapisan tanah sesuai pada gambar 3.3 yang dinyatakan oleh nilai N-SPT hasil pengujian penetrasi standar dengan tingkat kepadatan/profil kekuatan tanah.



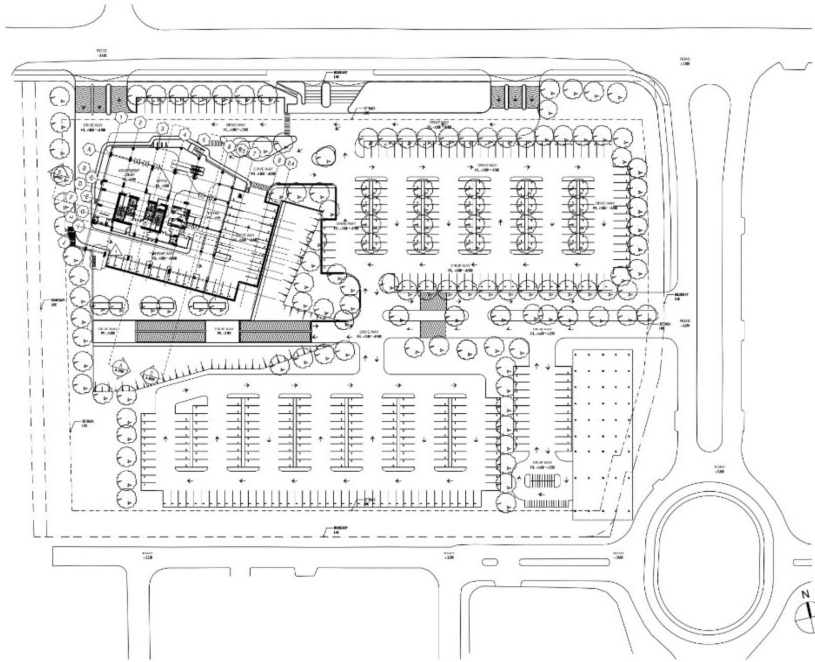
Gambar 3.2 Penempatan lokasi pengambilan titik uji N-SPT pada lokasi apartemen.



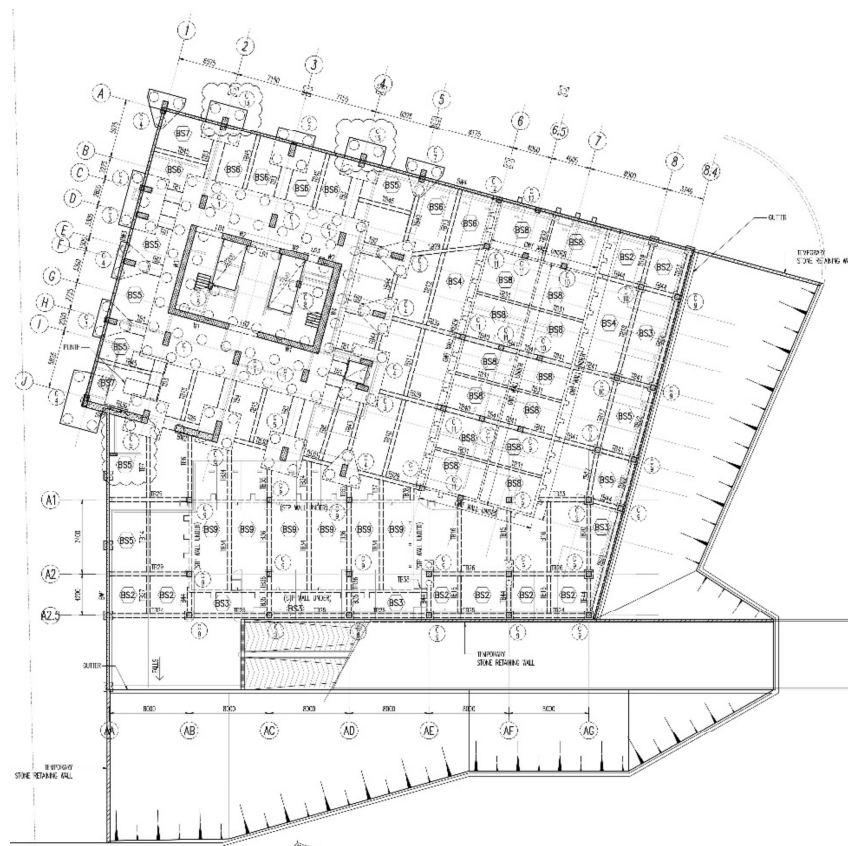
Gambar 3.3 Profil pengujian penetrasi standar (N-SPT) terhadap elevasi.

### 3.3.2. Data struktur apartemen

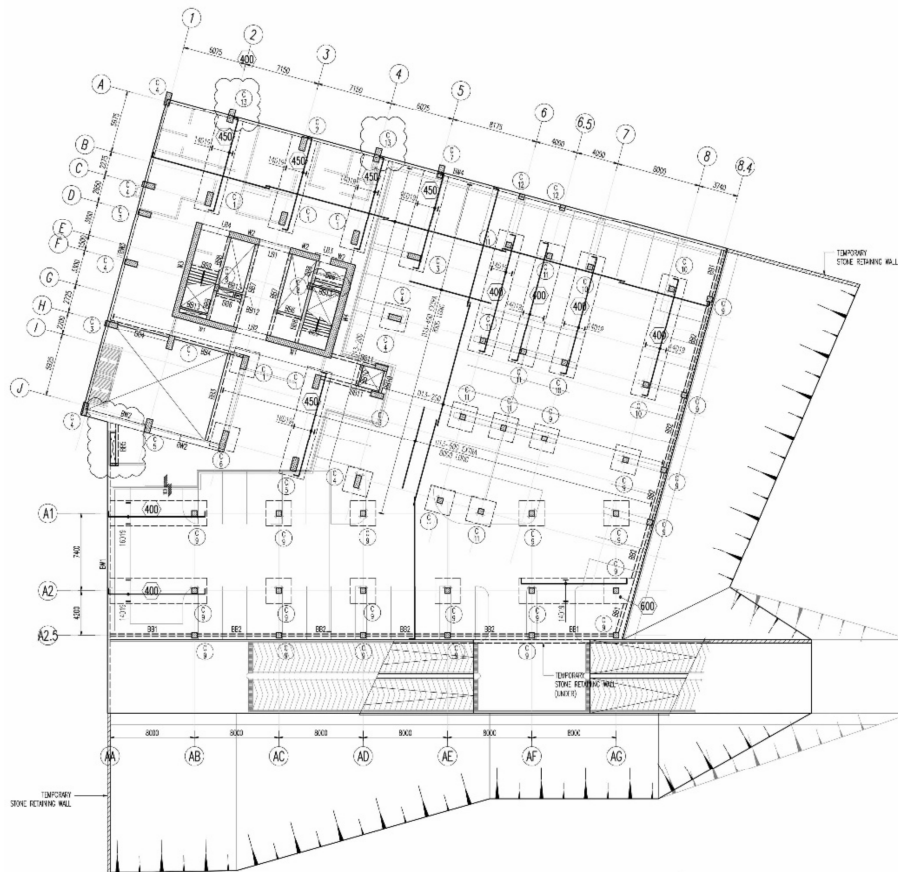
#### a. Denah apartemen



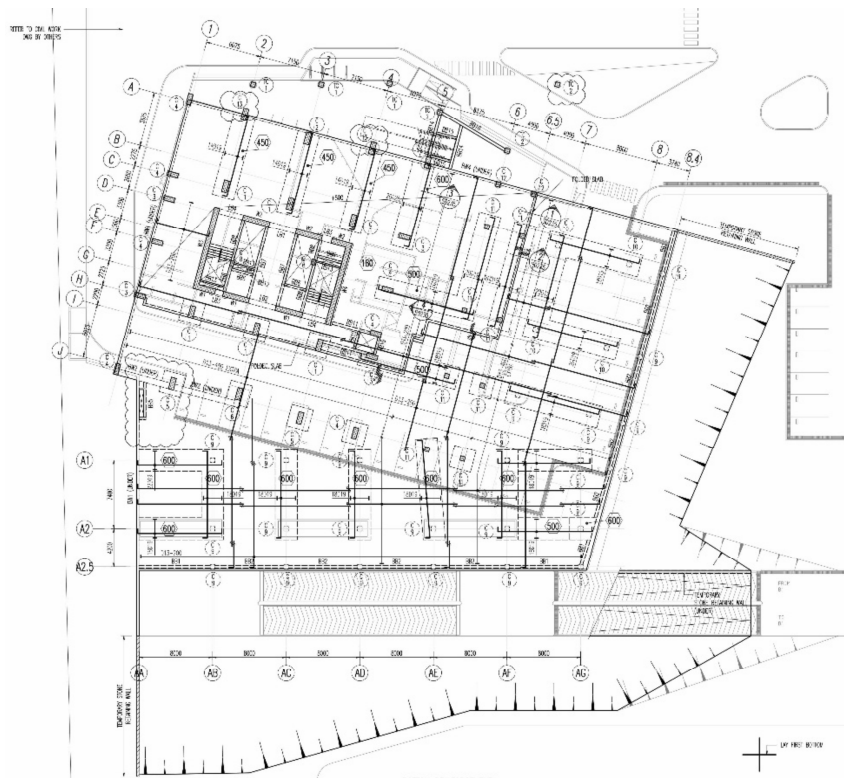
Gambar 3.4 Denah *site plan*.



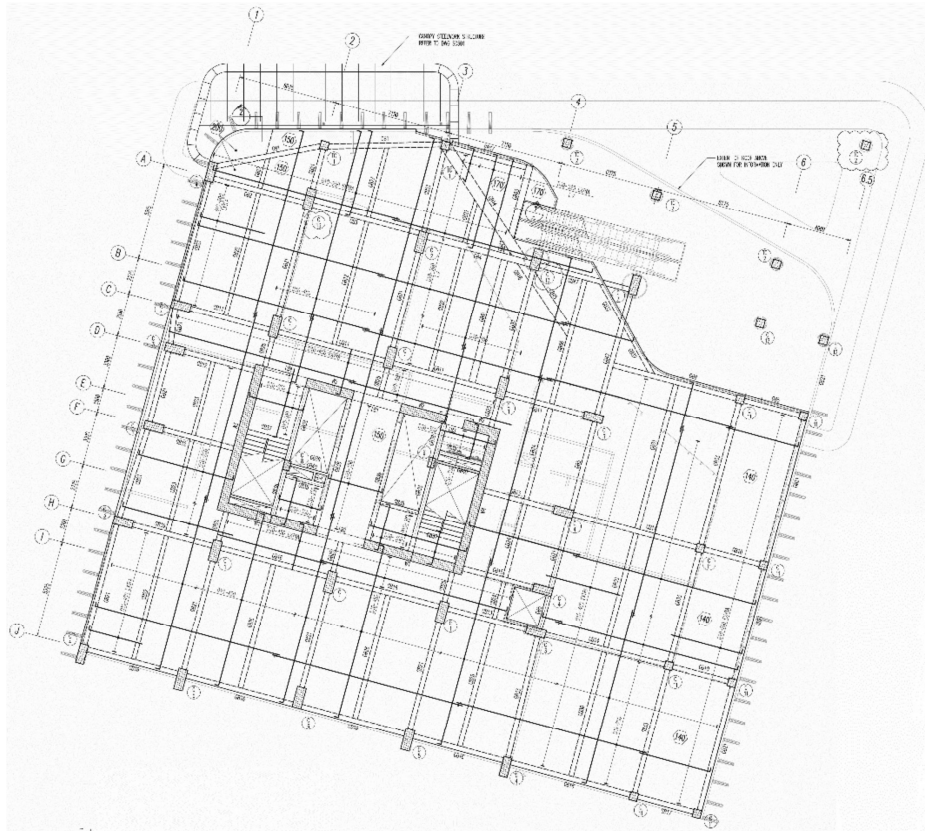
Gambar 3.5 Denah basement 2.



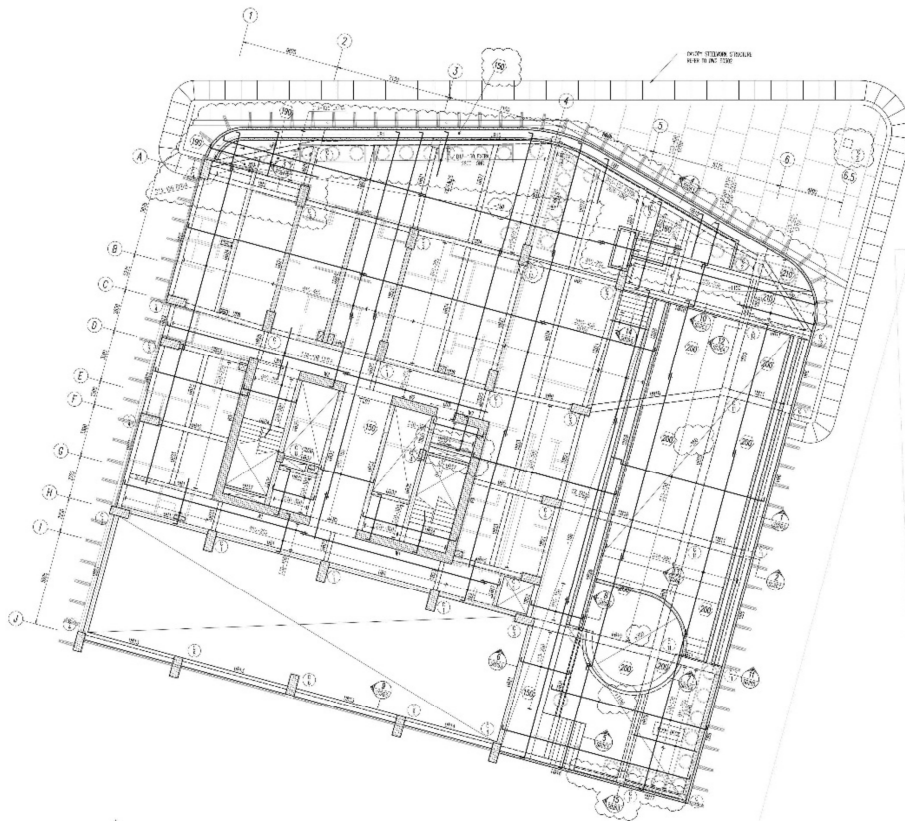
Gambar 3.6 Denah basement 1.



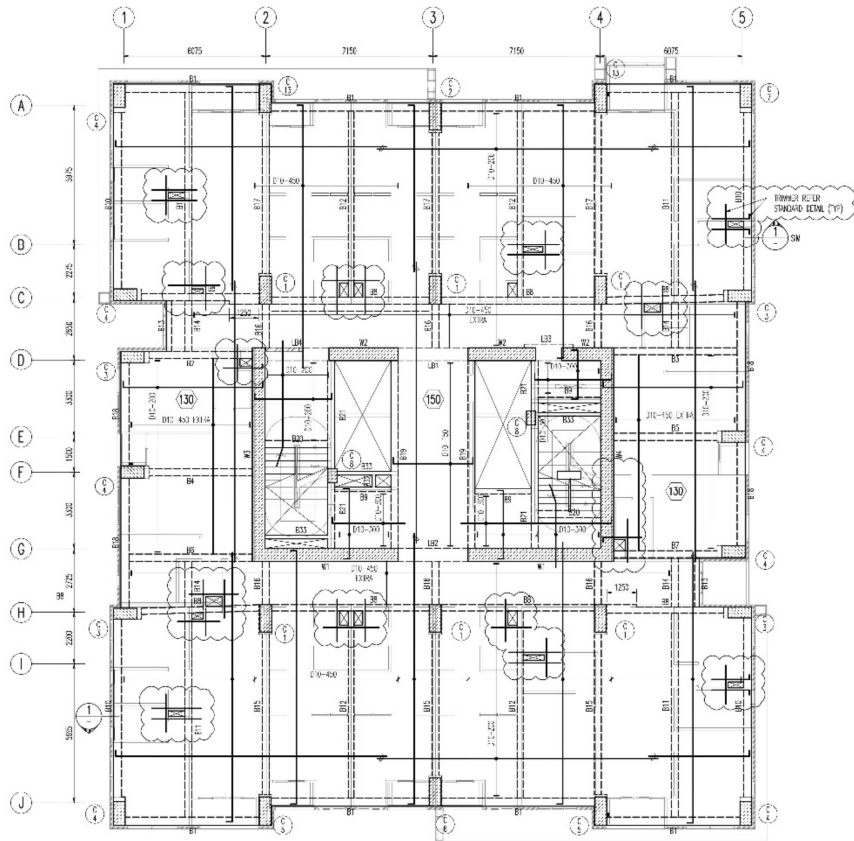
Gambar 3.7 Denah lower ground.



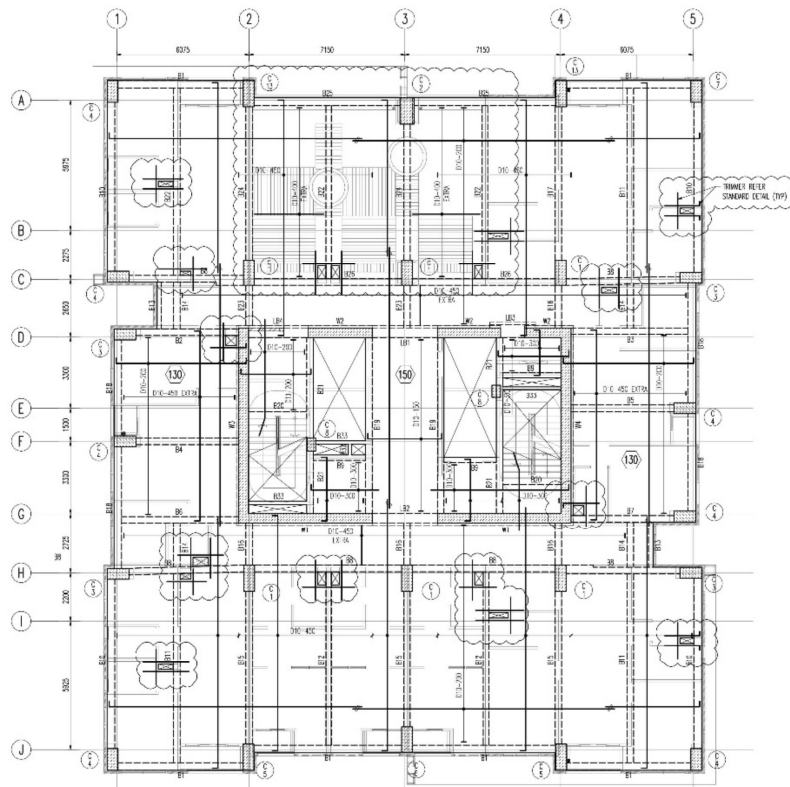
Gambar 3.8 Denah *ground floor*.



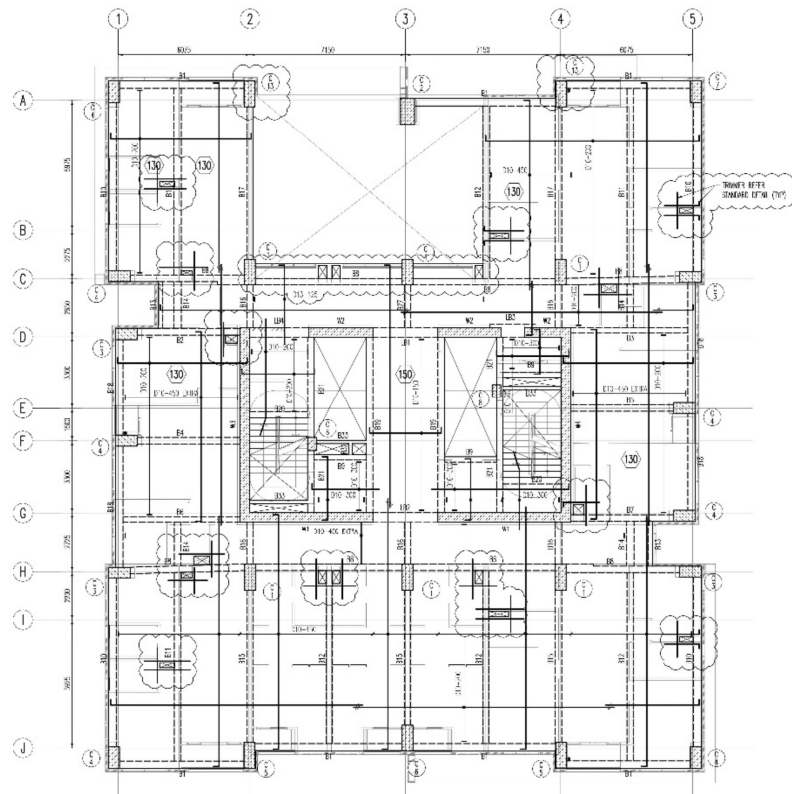
Gambar 3.9 Denah *upper ground*.



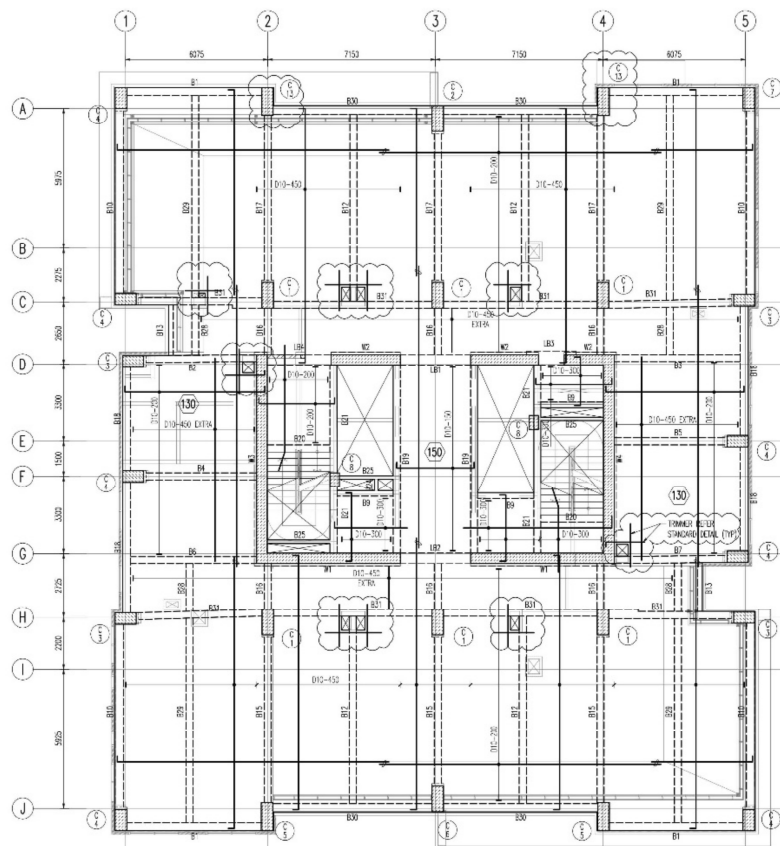
Gambar 3.10 lantai 1-9, 12-15 tipikal.



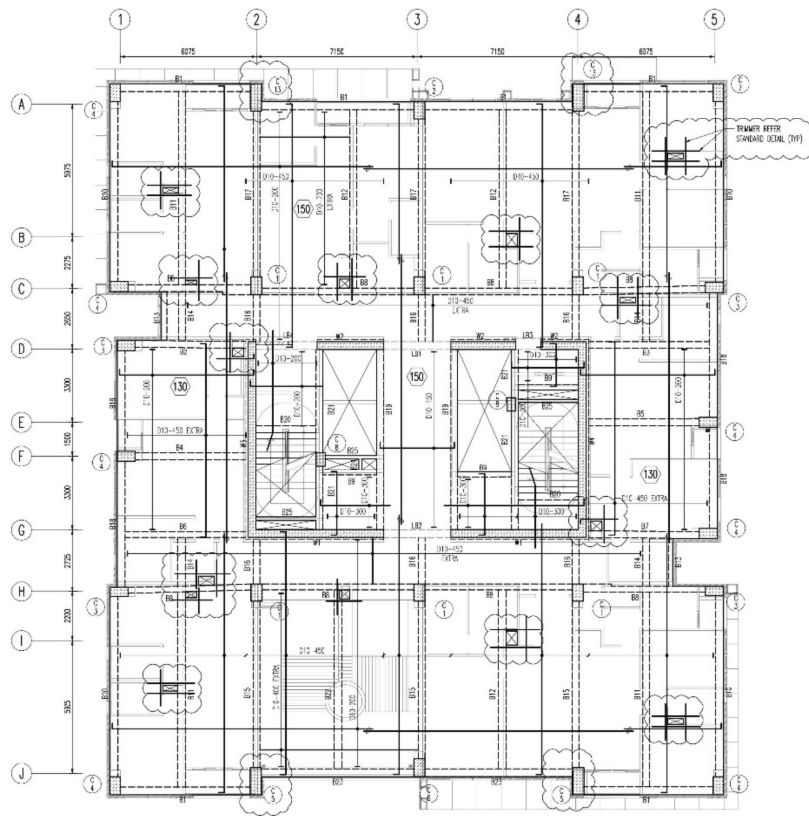
Gambar 3.11 Denah lantai 10.



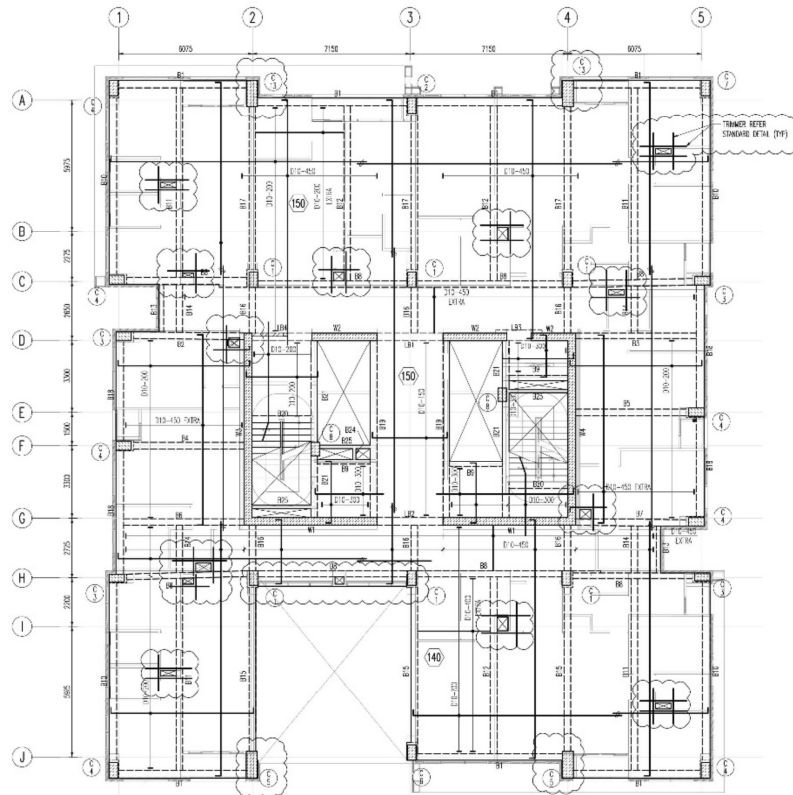
Gambar 3.12 Denah lantai 11.



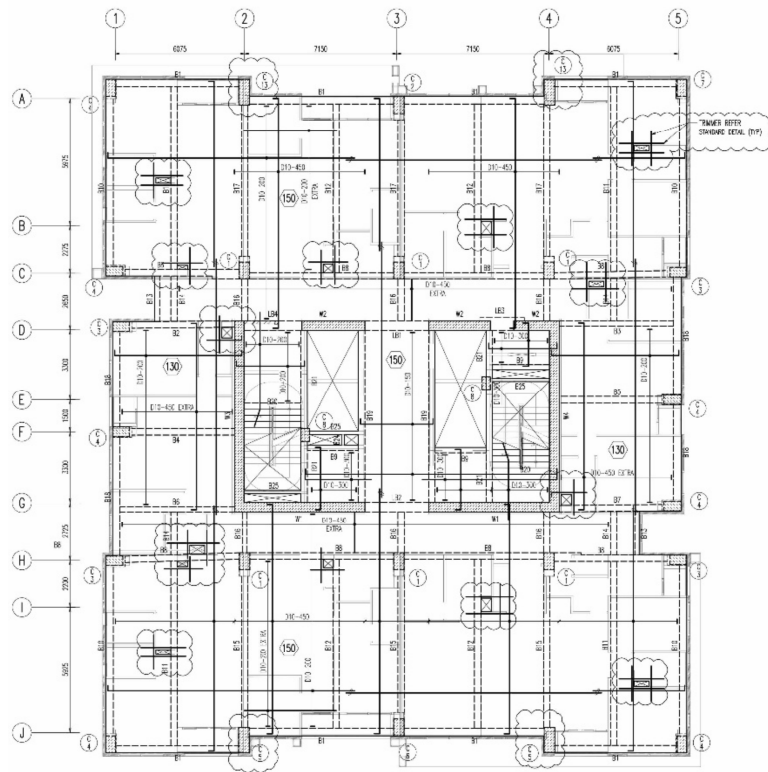
Gambar 3.13 Denah lantai 16.



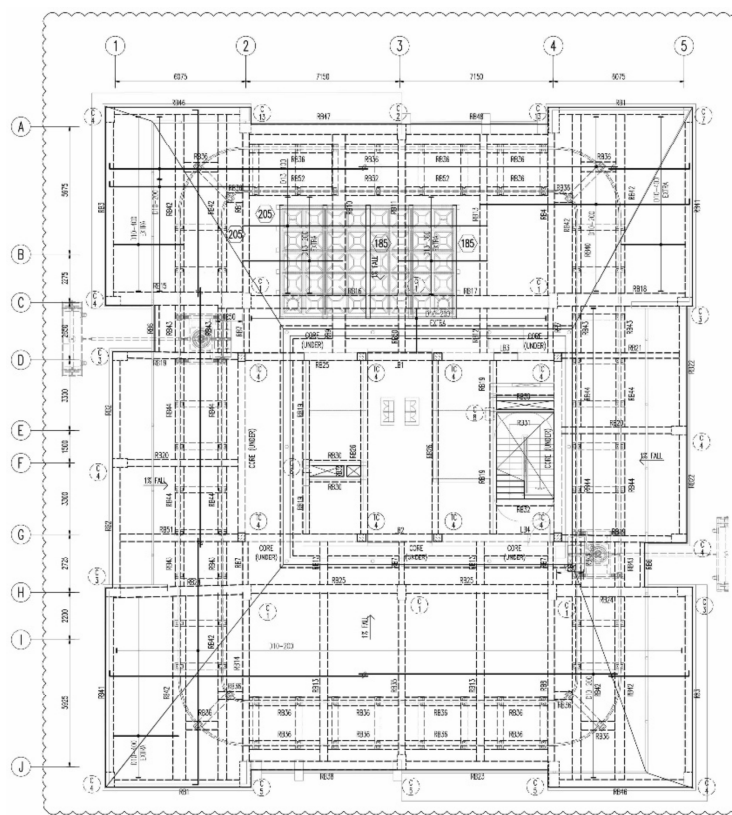
Gambar 3.14 Denah lantai 24.



Gambar 3.15 Denah lantai 25.



Gambar 3.16 Denah lantai 17-23, 26-33 tipikal.



Gambar 3.17 Denah roof floor.

- b. Data elemen struktur dan spesifikasi material
1. Kolom

Tabel 3.2 Data dimensi elemen kolom dengan mutu beton

| Lantai              | Tipe Kolom | Mutu Beton<br>(Mpa) | Dimensi (mm) |            |            |            |            |           |     |  |
|---------------------|------------|---------------------|--------------|------------|------------|------------|------------|-----------|-----|--|
|                     |            |                     | C1 = C2      | C3         | C4 = C7    | C5 = C13   | C6         | C8        | TC4 |  |
| Basement 2          |            | 55                  | 600 X 1300   | 550 x 1200 | 550 x 1200 | 600 X 1300 | 600 x 2100 | 400 x 600 | -   |  |
| Basement 1          |            | 55                  | 600 X 1300   | 550 x 1200 | 550 x 1200 | 600 X 1300 | 600 x 2100 | 400 x 600 | -   |  |
| <i>Lower Ground</i> |            | 55                  | 600 X 1300   | 550 x 1200 | 550 x 1200 | 600 X 1300 | 600 x 1300 | 400 x 600 | -   |  |
| <i>Ground Floor</i> |            | 55                  | 600 X 1300   | 550 x 1200 | 550 x 1200 | 600 X 1300 | 600 x 1300 | 400 x 600 | -   |  |
| <i>Upper Ground</i> |            | 55                  | 600 X 1300   | 550 x 1200 | 550 x 1200 | 600 X 1300 | 600 x 1300 | 400 x 600 | -   |  |
| Lantai 1            |            | 55                  | 550 X 1200   | 500 X 1100 | 500 X 1100 | 550 X 1200 | 550 X 1200 | 400 x 600 | -   |  |
| Lantai 2            |            | 55                  | 550 X 1200   | 500 X 1100 | 500 X 1100 | 550 X 1200 | 550 X 1200 | 400 x 600 | -   |  |
| Lantai 3            |            | 55                  | 500 X 1200   | 500 X 1100 | 500 X 1000 | 500 X 1200 | 500 X 1200 | 400 x 600 | -   |  |
| Lantai 4            |            | 55                  | 500 X 1200   | 500 X 1100 | 500 X 1000 | 500 X 1200 | 500 X 1200 | 400 x 600 | -   |  |
| Lantai 5            |            | 55                  | 500 X 1200   | 500 X 1100 | 500 X 1000 | 500 X 1200 | 500 X 1200 | 400 x 600 | -   |  |
| Lantai 6            |            | 55                  | 500 X 1200   | 500 x 1000 | 500 X 1000 | 500 X 1200 | 500 X 1200 | 400 x 600 | -   |  |
| Lantai 7            |            | 55                  | 500 X 1200   | 500 x 1000 | 500 X 1000 | 500 X 1200 | 500 X 1200 | 400 x 600 | -   |  |
| Lantai 8            |            | 45                  | 500 X 1200   | 500 x 1000 | 500 X 1000 | 500 X 1200 | 500 X 1200 | 400 x 600 | -   |  |
| Lantai 9            |            | 45                  | 500 X 1200   | 500 x 1000 | 500 X 1000 | 500 X 1200 | 500 X 1200 | 400 x 600 | -   |  |
| Lantai 10           |            | 45                  | 500 X 1100   | 500 x 900  | 500 x 900  | 500 X 1200 | 500 X 1100 | 400 x 600 | -   |  |
| Lantai 11           |            | 45                  | 500 X 1100   | 500 x 900  | 500 x 900  | 500 X 1200 | 500 X 1100 | 400 x 600 | -   |  |
| Lantai 12           |            | 45                  | 500 X 1100   | 500 x 900  | 500 x 900  | 500 X 1200 | 500 X 1100 | 400 x 600 | -   |  |

Tabel 3.2 Data dimensi elemen kolom dengan mutu beton (-lanjutan)

| Lantai    | Tipe Kolom<br>Mutu Beton<br>(Mpa) | Dimensi (mm) |           |           |            |            |           |     |  |
|-----------|-----------------------------------|--------------|-----------|-----------|------------|------------|-----------|-----|--|
|           |                                   | C1 = C2      | C3        | C4 = C7   | C5 = C13   | C6         | C8        | TC4 |  |
| Lantai 13 | 45                                | 500 X 1100   | 500 x 900 | 500 x 900 | 500 X 1200 | 500 X 1100 | 400 x 600 | -   |  |
| Lantai 14 | 45                                | 500 X 1100   | 500 x 900 | 500 x 900 | 500 X 1200 | 500 X 1100 | 400 x 600 | -   |  |
| Lantai 15 | 45                                | 500 X 1100   | 500 x 900 | 500 x 900 | 500 X 1200 | 500 X 1100 | 400 x 600 | -   |  |
| Lantai 16 | 45                                | 500 X 1100   | 500 x 900 | 500 x 900 | 500 X 1200 | 500 X 1100 | 400 x 600 | -   |  |
| Lantai 17 | 45                                | 500 X 800    | 450 x 800 | 450 x 800 | 500 X 1200 | 500 X 800  | 400 x 600 | -   |  |
| Lantai 18 | 45                                | 500 X 800    | 450 x 800 | 450 x 800 | 500 X 1200 | 500 X 800  | 400 x 600 | -   |  |
| Lantai 19 | 45                                | 500 X 800    | 450 x 800 | 450 x 800 | 500 X 1200 | 500 X 800  | 400 x 600 | -   |  |
| Lantai 20 | 45                                | 500 X 800    | 450 x 800 | 450 x 800 | 500 X 1200 | 500 X 800  | 400 x 600 | -   |  |
| Lantai 21 | 35                                | 500 X 800    | 450 x 800 | 450 x 800 | 500 X 1200 | 500 X 800  | 400 x 600 | -   |  |
| Lantai 22 | 35                                | 500 X 800    | 450 x 800 | 450 x 800 | 500 X 1200 | 500 X 800  | 400 x 600 | -   |  |
| Lantai 23 | 35                                | 500 X 800    | 450 x 800 | 450 x 800 | 500 X 1200 | 500 X 800  | 400 x 600 | -   |  |
| Lantai 24 | 35                                | 500 X 800    | 450 x 800 | 450 x 800 | 500 X 1200 | 500 X 800  | 400 x 600 | -   |  |
| Lantai 25 | 35                                | 400 X 700    | 400 X 700 | 400 X 700 | 500 X 1200 | 400 X 700  | 400 x 600 | -   |  |
| Lantai 26 | 35                                | 400 X 700    | 400 X 700 | 400 X 700 | 500 X 1200 | 400 X 700  | 400 x 600 | -   |  |
| Lantai 27 | 35                                | 400 X 700    | 400 X 700 | 400 X 700 | 500 X 1200 | 400 X 700  | 400 x 600 | -   |  |
| Lantai 28 | 35                                | 400 X 700    | 400 X 700 | 400 X 700 | 500 X 1200 | 400 X 700  | 400 x 600 | -   |  |
| Lantai 29 | 35                                | 400 X 700    | 400 X 700 | 400 X 700 | 500 X 1200 | 400 X 700  | 400 x 600 | -   |  |
| Lantai 30 | 35                                | 400 X 700    | 400 X 700 | 400 X 700 | 500 X 1200 | 400 X 700  | 400 x 600 | -   |  |
| Lantai 31 | 35                                | 400 X 700    | 400 X 700 | 400 X 700 | 500 X 1200 | 400 X 700  | 400 x 600 | -   |  |
| Lantai 32 | 35                                | 400 X 700    | 400 X 700 | 400 X 700 | 500 X 1200 | 400 X 700  | 400 x 600 | -   |  |

Tabel 3.2 Data dimensi elemen kolom dengan mutu beton (-lanjutan)

| Lantai    | Tipe Kolom       |  | Dimensi (mm) |           |           |            |           |           |           |  |
|-----------|------------------|--|--------------|-----------|-----------|------------|-----------|-----------|-----------|--|
|           | Mutu Beton (Mpa) |  | C1 = C2      | C3        | C4 = C7   | C5 = C13   | C6        | C8        | TC4       |  |
| Lantai 33 | 35               |  | 400 X 700    | 400 X 700 | 400 X 700 | 500 X 1200 | 400 X 700 | 400 X 600 | -         |  |
| Roof      | 35               |  | 400 X 700    | 400 X 700 | 400 X 700 | 500 X 1200 | 400 X 700 | 400 X 600 | 350 x 400 |  |

Tabel 3.2 Data dimensi elemen kolom dengan mutu beton (-lanjutan)

| Lantai       | Tipe Kolom |  | Dimensi (mm) |           |           |            |           |
|--------------|------------|--|--------------|-----------|-----------|------------|-----------|
|              | Mutu Beton |  | C9           | C10       | C11 = C12 | TC1 = TC 2 | TC5       |
| Basement 2   |            |  | 500 x 500    | 550 x 550 | 550 x 550 | -          | -         |
| Basement 1   | 35 Mpa     |  | 500 x 500    | 550 x 550 | 550 x 550 | -          | -         |
| Lower Ground | 35         |  | -            | -         | 550 x 550 | 500 x 500  | 400 x 400 |
| Ground Floor |            |  | -            | -         | 550 x 550 | 500 x 500  | -         |

## 2. Balok

Tabel 3.3 Data dimensi elemen *tie beam* dengan mutu beton 25 Mpa

| Tipe<br><i>Tie<br/>Beam</i> | Dimensi (mm) |               | Tipe<br><i>Tie<br/>Beam</i> | Dimensi (mm) |               | Tipe<br><i>Tie<br/>Beam</i> | Dimensi (mm) |               |
|-----------------------------|--------------|---------------|-----------------------------|--------------|---------------|-----------------------------|--------------|---------------|
|                             | Lebar<br>(b) | Tinggi<br>(h) |                             | Lebar<br>(b) | Tinggi<br>(h) |                             | Lebar<br>(b) | Tinggi<br>(h) |
| TB1                         | 1200         | 2000          | TB16                        | 400          | 800           | TB31                        | 250          | 450           |
| TB2                         | 1200         | 2000          | TB17                        | 400          | 800           | TB32                        | 250          | 500           |
| TB3                         | 1200         | 2000          | TB18                        | 400          | 800           | TB33                        | 400          | 800           |
| TB4                         | 1200         | 2000          | TB19                        | 400          | 800           | TB34                        | 400          | 700           |
| TB5                         | 1200         | 2000          | TB20                        | 400          | 800           | TB35                        | 300          | 600           |
| TB6                         | 400          | 800           | TB21                        | 400          | 800           | TB36                        | 300          | 600           |
| TB7                         | 400          | 700           | TB22                        | 400          | 600           | TB37                        | 400          | 700           |
| TB8                         | 400          | 700           | TB23                        | 400          | 600           | TB38                        | 300          | 400           |
| TB9                         | 400          | 700           | TB24                        | 400          | 600           | TB39                        | 450          | 1000          |
| TB10                        | 400          | 700           | TB25                        | 400          | 600           | TB40                        | 450          | 1000          |
| TB11                        | 400          | 700           | TB26                        | 400          | 1000          | TB41                        | 450          | 500           |
| TB12                        | 400          | 700           | TB27                        | 400          | 600           | TB42                        | 400          | 900           |
| TB13                        | 400          | 700           | TB28                        | 400          | 900           | TB43                        | 400          | 800           |
| TB14                        | 400          | 700           | TB29                        | 450          | 1200          | TB44                        | 400          | 500           |
| TB15                        | 400          | 700           | TB30                        | 400          | 900           | TB45                        | 400          | 700           |

Tabel 3.4 Data dimensi elemen balok *lower ground* dengan mutu beton 55Mpa

| Tipe<br>Balok | Dimensi<br>(mm) |               | Tipe<br>Balok | Dimensi<br>(mm) |               | Tipe<br>Balok | Dimensi (mm) |               |
|---------------|-----------------|---------------|---------------|-----------------|---------------|---------------|--------------|---------------|
|               | Lebar<br>(b)    | Tinggi<br>(h) |               | Lebar<br>(b)    | Tinggi<br>(h) |               | Lebar<br>(b) | Tinggi<br>(h) |
| BB1           | 300             | 600           | BB7           | 300             | 700           | BB12          | 150          | 300           |
| BB2           | 300             | 600           | BB8           | 300             | 600           | BB13          | 150          | 400           |
| BB3           | 300             | 600           | BB9           | 300             | 450           | BB14          | 300          | 600           |
| BB4           | 300             | 600           | BB10          | 250             | 400           | BB15          | 250          | 300           |
| BB5           | 250             | 450           | BB11          | 300             | 650           | BB16          | 300          | 650           |
| BB6           | 250             | 300           |               |                 |               |               |              |               |

Tabel 3.5 Data dimensi elemen balok *ground floor* dengan mutu beton 55 Mpa

| Tipe Balok | Dimensi (mm) |            | Tipe Balok | Dimensi (mm) |            | Tipe Balok | Dimensi (mm) |            |
|------------|--------------|------------|------------|--------------|------------|------------|--------------|------------|
|            | Lebar (b)    | Tinggi (h) |            | Lebar (b)    | Tinggi (h) |            | Lebar (b)    | Tinggi (h) |
| GB1        | 300          | 700        | GB17       | 300          | 700        | GB33       | 300          | 700        |
| GB2        | 300          | 700        | GB18       | 300          | 700        | GB34       | 300          | 600        |
| GB3        | 300          | 700        | GB19       | 300          | 700        | GB35       | 250          | 300        |
| GB4        | 400          | 750        | GB20       | 300          | 700        | GB36       | 300          | 700        |
| GB5        | 300          | 700        | GB21       | 300          | 700        | GB37       | 300          | 450        |
| GB6        | 500          | 800        | GB22       | 250          | 600        | GB38       | 300          | 600        |
| GB7        | 300          | 700        | GB23       | 250          | 600        | GB39       | 150          | 300        |
| GB8        | 250          | 600        | GB24       | 250          | 600        | GB40       | 150          | 450        |
| GB9        | 300          | 700        | GB25       | 300          | 600        | GB41       | 400          | 700        |
| GB10       | 300          | 700        | GB26       | 300          | 650        | GB42       | 400          | 700        |
| GB11       | 300          | 700        | GB27       | 250          | 600        | GB43       | 400          | 700        |
| GB12       | 300          | 700        | GB28       | 300          | 700        | GB44       | 650          | 750        |
| GB13       | 300          | 700        | GB29       | 300          | 700        | GB45       | 550          | 700        |
| GB14       | 300          | 700        | GB30       | 300          | 700        | GB46       | 300          | 700        |
| GB15       | 300          | 700        | GB31       | 300          | 700        | GB47       | 300          | 700        |
| GB16       | 300          | 700        | GB32       | 300          | 750        | GB48       | 650          | 750        |

Tabel 3.6 Data dimensi elemen balok *upper ground* dengan mutu beton 55 Mpa

| Tipe Balok | Dimensi (mm) |            | Tipe Balok | Dimensi (mm) |            | Tipe Balok | Dimensi (mm) |            |
|------------|--------------|------------|------------|--------------|------------|------------|--------------|------------|
|            | Lebar (b)    | Tinggi (h) |            | Lebar (b)    | Tinggi (h) |            | Lebar (b)    | Tinggi (h) |
| UP1        | 300          | 700        | UP14       | 250          | 600        | UP27       | 250          | 600        |
| UP2        | 300          | 700        | UP15       | 300          | 700        | UP28       | 300          | 700        |
| UP3        | 300          | 700        | UP16       | 300          | 700        | UP29       | 500          | 800        |
| UP4        | 300          | 700        | UP17       | 300          | 700        | UP30       | 500          | 800        |
| UP5        | 450          | 700        | UP18       | 300          | 700        | UP31       | 300          | 700        |
| UP6        | 300          | 700        | UP19       | 300          | 700        | UP32       | 250          | 300        |
| UP7        | 300          | 700        | UP20       | 300          | 700        | UP33       | 300          | 700        |
| UP8        | 300          | 700        | UP21       | 300          | 700        | UP34       | 300          | 450        |
| UP9        | 450          | 700        | UP22       | 300          | 700        | UP35       | 300          | 600        |
| UP10       | 450          | 800        | UP23       | 250          | 600        | UP36       | 150          | 300        |
| UP11       | 450          | 800        | UP24       | 250          | 600        | UP37       | 150          | 400        |
| UP12       | 300          | 700        | UP25       | 250          | 600        | UP38       | 250          | 600        |
| UP13       | 300          | 700        | UP26       | 300          | 700        |            |              |            |

Tabel 3.7 Data dimensi elemen balok lantai 1-8,  $F_c' = 55$  Mpa; lantai 9-15,  $F_c' = 45$  Mpa

| Tipe Balok | Dimensi (mm) |            | Tipe Balok | Dimensi (mm) |            | Tipe Balok | Dimensi (mm) |            |
|------------|--------------|------------|------------|--------------|------------|------------|--------------|------------|
|            | Lebar (b)    | Tinggi (h) |            | Lebar (b)    | Tinggi (h) |            | Lebar (b)    | Tinggi (h) |
| B1         | 350          | 600        | B12        | 300          | 650        | B23        | 300          | 400        |
| B2         | 300          | 700        | B13        | 250          | 300        | B24        | 300          | 700        |
| B3         | 300          | 600        | B14        | 300          | 600        | B25        | 350          | 600        |
| B4         | 300          | 550        | B15        | 300          | 700        | B26        | 300          | 700        |
| B5         | 300          | 550        | B16        | 300          | 400        | B27        | 300          | 400        |
| B6         | 300          | 600        | B17        | 300          | 700        | B28        | 300          | 600        |
| B7         | 300          | 700        | B18        | 350          | 600        | B29        | 300          | 600        |
| B8         | 300          | 700        | B19        | 300          | 700        | B30        | 350          | 600        |
| B9         | 250          | 300        | B20        | 300          | 450        | B31        | 300          | 700        |
| B10        | 350          | 600        | B21        | 300          | 600        | B32        | 150          | 300        |
| B11        | 300          | 600        | B22        | 350          | 650        | B33        | 150          | 400        |

Tabel 3.8 Data dimensi elemen balok lantai 16-21,  $F_c' = 45$  Mpa; lantai 22-33,  $F_c' = 35$  Mpa

| Tipe Balok | Dimensi (mm) |            | Tipe Balok | Dimensi (mm) |            | Tipe Balok | Dimensi (mm) |            |
|------------|--------------|------------|------------|--------------|------------|------------|--------------|------------|
|            | Lebar (b)    | Tinggi (h) |            | Lebar (b)    | Tinggi (h) |            | Lebar (b)    | Tinggi (h) |
| B1         | 350          | 600        | B10        | 350          | 600        | B18        | 350          | 600        |
| B2         | 300          | 700        | B11        | 300          | 600        | B19        | 300          | 700        |
| B3         | 300          | 600        | B12        | 300          | 650        | B20        | 300          | 450        |
| B4         | 300          | 550        | B13        | 250          | 300        | B21        | 300          | 600        |
| B5         | 300          | 550        | B14        | 300          | 600        | B22        | 350          | 650        |
| B6         | 300          | 600        | B15        | 300          | 700        | B23        | 350          | 600        |
| B7         | 300          | 700        | B16        | 300          | 400        | B24        | 150          | 300        |
| B8         | 300          | 700        | B17        | 300          | 700        | B25        | 150          | 400        |
| B9         | 250          | 300        |            |              |            |            |              |            |

Tabel 3.9 Data dimensi elemen balok *roof floor* dengan mutu beton 55 Mpa

| Tipe Balok | Dimensi (mm) |            | Tipe Balok | Dimensi (mm) |            | Tipe Balok | Dimensi (mm) |            |
|------------|--------------|------------|------------|--------------|------------|------------|--------------|------------|
|            | Lebar (b)    | Tinggi (h) |            | Lebar (b)    | Tinggi (h) |            | Lebar (b)    | Tinggi (h) |
| RB1        | 350          | 700        | RB19       | 300          | 700        | RB36       | 400          | 300        |
| RB2        | 350          | 700        | RB20       | 300          | 700        | RB37       | 400          | 700        |
| RB3        | 350          | 600        | RB21       | 250          | 600        | RB38       | 400          | 700        |
| RB4        | 450          | 700        | RB22       | 350          | 600        | RB39       | 400          | 350        |
| RB5        | 450          | 700        | RB23       | 400          | 700        | RB40       | 400          | 300        |
| RB6        | 200          | 400        | RB24       | 450          | 700        | RB41       | 350          | 600        |
| RB7        | 250          | 400        | RB25       | 400          | 700        | RB42       | 400          | 650        |
| RB8        | 300          | 700        | RB26       | 300          | 700        | RB43       | 400          | 650        |
| RB9        | 600          | 700        | RB27       | 300          | 650        | RB44       | 400          | 400        |
| RB10       | 600          | 700        | RB28       | 300          | 700        | RB45       | 400          | 400        |
| RB11       | 400          | 700        | RB29       | 300          | 700        | RB46       | 350          | 600        |
| RB12       | 350          | 600        | RB30       | 250          | 300        | RB47       | 450          | 700        |
| RB13       | 350          | 600        | RB31       | 150          | 400        | RB48       | 450          | 750        |
| RB14       | 400          | 700        | RB32       | 300          | 450        | RB49       | 450          | 700        |
| RB15       | 600          | 750        | RB33       | 150          | 300        | RB50       | 300          | 600        |
| RB16       | 600          | 900        | RB34       | 600          | 700        | RB51       | 350          | 700        |
| RB17       | 600          | 900        | RB35       | 300          | 700        | RB52       | 400          | 350        |
| RB18       | 600          | 700        |            |              |            |            |              |            |

Tabel 3.10 Data dimensi elemen balok *link beam* dengan mutu beton

| Tipe Link Beam      | Fc' (Mpa) | Dimensi (mm)  |           |           |           |
|---------------------|-----------|---------------|-----------|-----------|-----------|
|                     |           | LB1, LB2, LB4 |           | LB3       |           |
| Lantai              |           | lebar (b)     | lebar (h) | lebar (b) | lebar (h) |
| Basement 1          | 55        | 550           | 600       | 600       | 600       |
| <i>Lower Ground</i> | 55        | 550           | 600       | 650       | 700       |
| <i>Ground Floor</i> | 55        | 550           | 600       | 700       | 1200      |
| <i>Upper Ground</i> | 55        | 550           | 600       | 700       | 1200      |
| Lanta 1             | 55        | 550           | 600       | 650       | 700       |
| Lanta 2             | 55        | 550           | 600       | 700       | 600       |
| Lanta 3             | 55        | 550           | 600       | 700       | 600       |
| Lanta 4             | 55        | 550           | 600       | 700       | 600       |
| Lanta 5             | 55        | 550           | 600       | 650       | 600       |
| Lanta 6             | 55        | 550           | 600       | 650       | 600       |
| Lanta 7             | 55        | 550           | 600       | 650       | 600       |
| Lanta 8             | 55        | 550           | 600       | 550       | 600       |
| Lanta 9             | 45        | 550           | 600       | 550       | 600       |
| Lanta 10            | 45        | 450           | 600       | 550       | 600       |

Tabel 3.10 Data dimensi elemen balok *link beam* dengan mutu beton – (lanjutan)

| Tipe <i>Link Beam</i> |           | Dimensi (mm)  |           |           |           |
|-----------------------|-----------|---------------|-----------|-----------|-----------|
| Lantai                | Fc' (Mpa) | LB1, LB2, LB4 |           | LB3       |           |
|                       |           | lebar (b)     | lebar (h) | lebar (b) | lebar (h) |
| Lanta 11              | 45        | 450           | 600       | 550       | 600       |
| Lanta 12              | 45        | 450           | 600       | 550       | 600       |
| Lanta 13              | 45        | 450           | 600       | 450       | 600       |
| Lanta 14              | 45        | 450           | 600       | 450       | 600       |
| Lanta 15              | 45        | 450           | 600       | 450       | 600       |
| Lanta 16              | 45        | 450           | 600       | 450       | 600       |
| Lanta 17              | 45        | 450           | 600       | 450       | 600       |
| Lanta 18              | 45        | 450           | 600       | 450       | 600       |
| Lanta 19              | 45        | 350           | 600       | 450       | 600       |
| Lanta 20              | 45        | 350           | 600       | 450       | 600       |
| Lanta 21              | 45        | 350           | 600       | 450       | 600       |
| Lanta 22              | 35        | 350           | 600       | 450       | 600       |
| Lanta 23              | 35        | 350           | 600       | 350       | 600       |
| Lanta 24              | 35        | 350           | 600       | 350       | 600       |
| Lanta 25              | 35        | 350           | 600       | 350       | 600       |
| Lanta 26              | 35        | 350           | 600       | 350       | 600       |
| Lanta 27              | 35        | 350           | 600       | 350       | 600       |
| Lanta 28              | 35        | 350           | 600       | 350       | 600       |
| Lanta 29              | 35        | 350           | 600       | 350       | 600       |
| Lanta 30              | 35        | 350           | 600       | 350       | 600       |
| Lanta 31              | 35        | 350           | 600       | 350       | 600       |
| Lanta 32              | 35        | 350           | 600       | 350       | 600       |
| Lanta 33              | 35        | 350           | 600       | 350       | 600       |
| Roof                  | 35        | 350           | 600       | 350       | 600       |

### 3. Pelat

Tabel 3.11 Data ketebalan elemen pelat dengan mutu beton

| Tipe Pelat          |           | Dimensi (mm)  |                   |           |               |
|---------------------|-----------|---------------|-------------------|-----------|---------------|
| Lantai              | Fc' (Mpa) | Pelat lantai  | <i>Drop panel</i> |           |               |
|                     |           | Ketebalan (t) | Lebar (b)         | Lebar (h) | Ketebalan (t) |
| Basement 1          | 55        | 180           | 2400              | 2400      | 350           |
| <i>Lower Ground</i> | 55        | 200           | 2400              | 2400      | 400           |
| <i>Ground Floor</i> | 55        | 125           | -                 | -         | -             |
| <i>Upper Ground</i> | 55        | 125           | -                 | -         | -             |
| Lanta 1             | 55        | 125           | -                 | -         | -             |
| Lanta 2             | 55        | 120           | -                 | -         | -             |

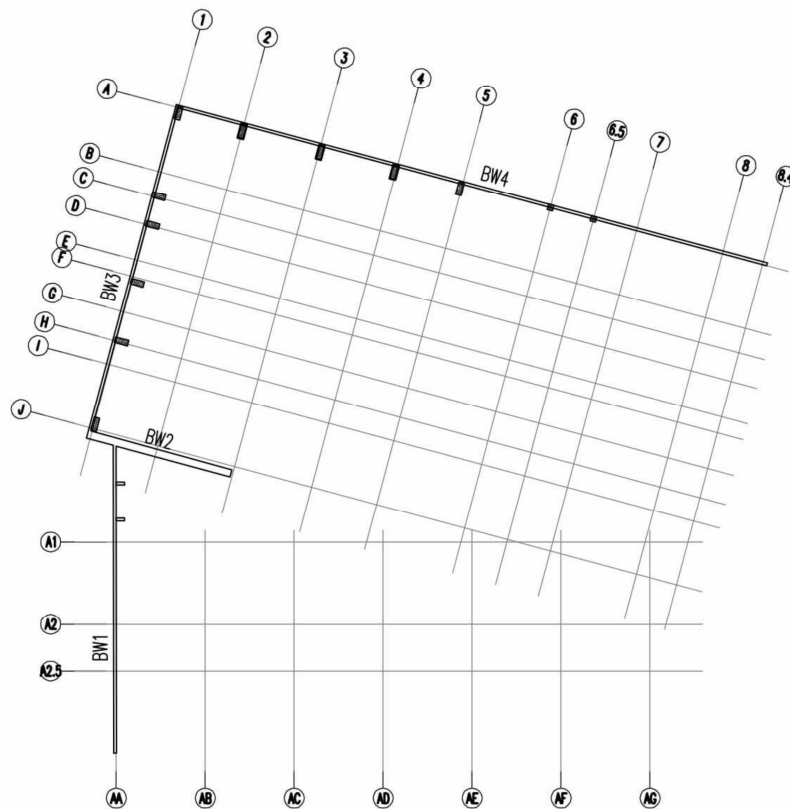
Tabel 3.11 Data ketebalan elemen pelat dengan mutu beton (-lanjutan)

| Tipe Pelat  |              | Dimensi (mm)  |                   |           |               |
|-------------|--------------|---------------|-------------------|-----------|---------------|
| Lantai      | Fc'<br>(Mpa) | Pelat lantai  | <i>Drop panel</i> |           |               |
|             |              | Ketebalan (t) | lebar (b)         | lebar (h) | Ketebalan (t) |
| Lanta 3     | 55           | 120           | -                 | -         | -             |
| Lanta 4     | 55           | 120           | -                 | -         | -             |
| Lanta 5     | 55           | 120           | -                 | -         | -             |
| Lanta 6     | 55           | 120           | -                 | -         | -             |
| Lanta 7     | 55           | 120           | -                 | -         | -             |
| Lanta 8     | 55           | 120           | -                 | -         | -             |
| Lanta 9     | 45           | 120           | -                 | -         | -             |
| Lanta 10    | 45           | 120           | -                 | -         | -             |
| Lanta 11    | 45           | 120           | -                 | -         | -             |
| Lanta 12    | 45           | 120           | -                 | -         | -             |
| Lanta 13    | 45           | 120           | -                 | -         | -             |
| Lanta 14    | 45           | 120           | -                 | -         | -             |
| Lanta 15    | 45           | 120           | -                 | -         | -             |
| Lanta 16    | 45           | 120           | -                 | -         | -             |
| Lanta 17    | 45           | 120           | -                 | -         | -             |
| Lanta 18    | 45           | 120           | -                 | -         | -             |
| Lanta 19    | 45           | 120           | -                 | -         | -             |
| Lanta 20    | 45           | 120           | -                 | -         | -             |
| Lanta 21    | 45           | 120           | -                 | -         | -             |
| Lanta 22    | 35           | 120           | -                 | -         | -             |
| Lanta 23    | 35           | 120           | -                 | -         | -             |
| Lanta 24    | 35           | 120           | -                 | -         | -             |
| Lanta 25    | 35           | 120           | -                 | -         | -             |
| Lanta 26    | 35           | 120           | -                 | -         | -             |
| Lanta 27    | 35           | 120           | -                 | -         | -             |
| Lanta 28    | 35           | 120           | -                 | -         | -             |
| Lanta 29    | 35           | 120           | -                 | -         | -             |
| Lanta 30    | 35           | 120           | -                 | -         | -             |
| Lanta 31    | 35           | 120           | -                 | -         | -             |
| Lanta 32    | 35           | 120           | -                 | -         | -             |
| Lanta 33    | 35           | 120           | -                 | -         | -             |
| <i>Roof</i> | 35           | 150           | -                 | -         | -             |

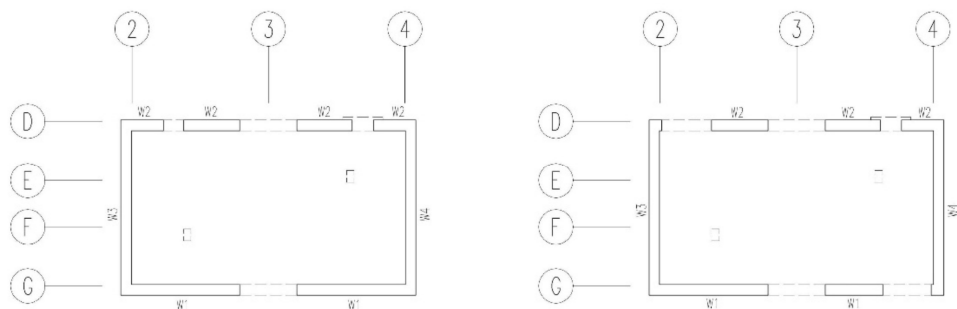
4. Wall

Tabel 3.12 Data ketebalan elemen *retain wall* dengan mutu beton

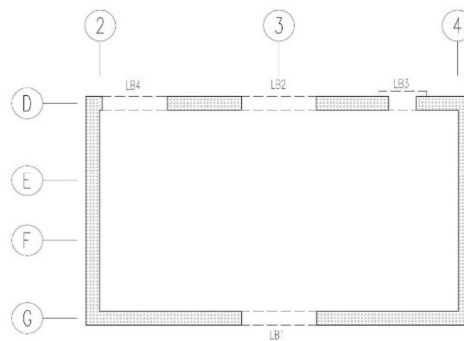
| Tipe <i>Retain Wall</i> | Lantai     | Fc' (Mpa) | Dimensi (mm)          |                       |                       |                       |
|-------------------------|------------|-----------|-----------------------|-----------------------|-----------------------|-----------------------|
|                         |            |           | BW 1<br>Ketebalan (t) | BW 2<br>Ketebalan (t) | BW 3<br>Ketebalan (t) | BW 4<br>Ketebalan (t) |
|                         | Basement 1 | 35        | 250                   | 650                   | 250                   | 250                   |
|                         | Basement 2 | 35        | 250                   | 650                   | 250                   | 250                   |



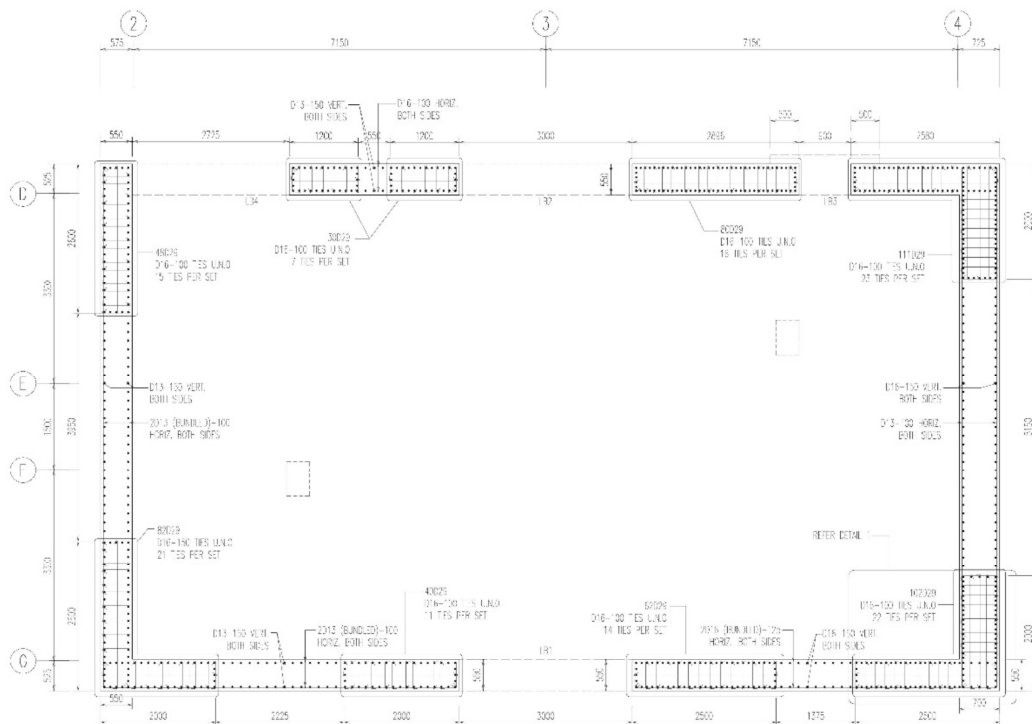
Gambar 3.18 Denah dinding *retain wall*.



Gambar 3.19 Denah *shear wall*.



Gambar 3.20 Denah link beam pada core wall.



Gambar 3.21 Dimensi dan penulangan shear wall.

c. Desain load

Tabel 3.13 Data desain load

| Lantai        | Jenis Elemen Struktur Pembebanan |   |                  |           |        |     |
|---------------|----------------------------------|---|------------------|-----------|--------|-----|
|               | Beban Hidup (kPa)                |   | Beban Mati (kPa) |           |        |     |
| Basement<br>2 | MEP                              | = | 2                | Care park | =      | 4   |
|               |                                  |   |                  |           | Genset | =   |
| Basement<br>1 | MEP room                         | = | 1.5              | Car park  | =      | 4   |
|               | Care area                        | = | 1.5              | MEP room  | =      | 5   |
|               |                                  |   |                  | Care area | =      | 4.8 |

Tabel 3.13 Data desain *load* (-lanjutan)

| Lantai                     | Jenis Elemen Struktur Pembebanan |       |                               |       |
|----------------------------|----------------------------------|-------|-------------------------------|-------|
|                            | Beban Hidup (kPa)                |       | Beban Mati (kPa)              |       |
| Lower<br>Ground            | <i>Retail and Core area</i>      | = 1.5 | <i>Care park</i>              | = 8   |
|                            | <i>Landscape</i>                 | = 8   | <i>Retail and care area</i>   | = 4.8 |
|                            |                                  |       | <i>Landscape</i>              | = 4   |
| Ground<br>Floor            | <i>Retail</i>                    | = 1.5 | <i>Retail</i>                 | = 4.8 |
|                            | <i>Apartement facility</i>       | = 1.5 | <i>Apartement facility</i>    | = 4.8 |
|                            | <i>Loby and corridor</i>         | = 1.5 | <i>Loby and corridor</i>      | = 4.8 |
| Upper<br>Ground            | <i>Fitness &amp; facility</i>    | = 1.5 | <i>Fitness &amp; facility</i> | = 4.8 |
|                            | <i>Loby roof</i>                 | = 1.5 | <i>Swiming pool</i>           | = 3.6 |
|                            | <i>Swiming pool</i>              | = 1.5 | <i>Loby and corridor</i>      | = 4.8 |
|                            |                                  |       | <i>Roof loby</i>              |       |
|                            | <i>Loby and corridor</i>         | = 4   | <i>Apartement</i>             | = 3   |
| Lanta 1 -<br>9 & 12-<br>15 | <i>Apartement</i>                | = 4   | <i>Apartement</i>             | = 2   |
|                            | <i>Loby and corridor</i>         | = 1.5 | <i>Loby and corridor</i>      | = 4.8 |
|                            | <i>Stairs</i>                    | = 1   | <i>Stairs</i>                 | = 4.8 |
| Lantai 10                  | <i>Apartement</i>                | = 4   | <i>Apartement</i>             | = 2   |
|                            | <i>Loby and corridor</i>         | = 1.5 | <i>Loby and corridor</i>      | = 4.8 |
|                            | <i>Stairs</i>                    | = 1   | <i>Stairs</i>                 | = 4.8 |
|                            | <i>Garden</i>                    | = 4   | <i>Garden</i>                 | = 4.8 |
| Lantai 11                  | <i>Apartement</i>                | = 4   | <i>Apartement</i>             | = 2   |
|                            | <i>Loby and corridor</i>         | = 1.5 | <i>Loby and corridor</i>      | = 4.8 |
|                            | <i>Stairs</i>                    | = 1   | <i>Stairs</i>                 | = 4.8 |
| Lantai 16                  | <i>Apartement</i>                | = 4   | <i>Apartement</i>             | = 2   |
|                            | <i>Loby and corridor</i>         | = 1.5 | <i>Loby and corridor</i>      | = 4.8 |
|                            | <i>Stairs</i>                    | = 1   | <i>Stairs</i>                 | = 4.8 |
|                            | <i>Refuge</i>                    | = 1.5 | <i>Refuge</i>                 | = 4.8 |
| Lantai<br>17-23 &<br>26-33 | <i>Apartement</i>                | = 4   | <i>Apartement</i>             | = 2   |
|                            | <i>Loby and corridor</i>         | = 1.5 | <i>Loby and corridor</i>      | = 4.8 |
|                            | <i>Stairs</i>                    | = 1   | <i>Stairs</i>                 | = 4.8 |
| Lantai 24                  | <i>Apartement</i>                | = 4   | <i>Apartement</i>             | = 2   |
|                            | <i>Loby and corridor</i>         | = 1.5 | <i>Loby and corridor</i>      | = 4.8 |
|                            | <i>Stairs</i>                    | = 1   | <i>Stairs</i>                 | = 4.8 |
|                            | <i>Garden</i>                    | = 4   | <i>Garden</i>                 | = 4.8 |
| Lantai 25                  | <i>Apartement</i>                | = 4   | <i>Apartement</i>             | = 2   |
|                            | <i>Loby and corridor</i>         | = 1.5 | <i>Loby and corridor</i>      | = 4.8 |
|                            | <i>Stairs</i>                    | = 1   | <i>Stairs</i>                 | = 4.8 |
| Roof                       | <i>Roof</i>                      | = 1.5 | <i>Roof</i>                   | = 3   |
|                            |                                  |       | <i>LMR</i>                    | = 5   |

### 3.4. Tahap Analisis

#### 3.4.1. Pembebanan

a. Beban mati tambahan

Berat dinding pasangan bata merah, setengah bata berdasarkan (Departemen Pekerjaan Umum, PPPURG 1987 pada tabel 1) sebesar  $250 \text{ kg/m}^2$ . Untuk mendapatkan beban dinding pada balok basement 2 sampai basement 1, dilakukan analisis sebagai berikut :

$$Q_d = \text{Elevasi (basement 2-basement 1)} \times \text{Berat dinding}$$

$$Q_d = 3 \times 2.5 \text{ kN/m}^2 = 7.5 \text{ kN/m}$$

Tabel 3.14 Hasil rekapitulasi perhitungan beban dinding pada balok

| Lantai                             | Elevasi (m) | Beban (kN/m) |
|------------------------------------|-------------|--------------|
| Basement 2 - basement 1            | 3           | 7.5          |
| Basement 1 - <i>lower ground</i>   | 3.5         | 8.75         |
| <i>Lower ground - ground floor</i> | 4           | 10           |
| <i>Ground floor - upper ground</i> | 4           | 10           |
| <i>Upper ground - lantai 1</i>     | 3.5         | 8.75         |
| Lantai 1-33 (tipikal)              | 3.4         | 8.5          |
| Lantai 33-roof                     | 3.4         | 8.5          |
| <i>Roof floor - top roof</i>       | 2.5         | 6.25         |
| <i>Top roof - FFL</i>              | 2.5         | 6.25         |

b. Beban angin

Untuk mendapatkan beban angin, pada keseluruhan elemen penampang ekterior, yang ditransfer sebagai beban terpusat ke *joint* pertemuan kolom dengan balok, dengan analisis sebagai berikut :

1. Kategori risiko, menggunakan tabel 2.6 dengan parameter penggunaan atau pemanfaatan fungsi gedung dan struktur sebagai apartemen didapat kategori risiko II.
2. Kecepatan angin dasar (V), untuk daerah surabaya 19,25 m/s barat laut (diambil dari <https://www.bps.go.id>).
3. Parameter-parameter beban angin sebagai berikut :
  - a) Faktor arah angin ( $K_d$ ), menggunakan tabel 2.7, dengan parameter tipe struktur sebagai bangunan gedung didapat 0,85.

- b) Kategori eksposur, menggunakan tabel 2.8, dengan tipe kekasaran permukaan tanah sebagai daerah perkotaan, didapat kategori eksposur B.
- c) Faktor topografi ( $K_{zt}$ ) = 1.
- d) Faktor efek tiupan angin ( $G$ ) = 0,85.
- e) Koefisien tekanan internal ( $GC_{pi}$ ), menggunakan tabel 2.10, dengan tipe sistem penahan beban angin sebagai bangunan gedung tertutup didapat  $\pm 0,18$ .
- f) Parameter eksponen pangkat kecepatan tiupan angin 3 detik ( $\alpha$ ), dan tinggi nominal lapisan batas atmosfer menggunakan tabel 2.11, dengan tipe eksposur B, didapat  $\alpha = 7$  m, dan  $z_g = 365,76$  m.
4. Menghitung koefisien eksposur tekanan velositas ( $K_z$ ), menggunakan persamaan 2.5 karena memenuhi syarat  $15 \text{ ft} \leq z \leq z_g$ .

$$\text{Cek syarat} = 15 \text{ ft} \leq z \leq z_g$$

$$15 \times 0,3048 \text{ m} = 4,575 \leq 130,5 \text{ m} \leq 365,75 \text{ m} \rightarrow \text{Oke}$$

$$K_z = 2,01 \times \left(\frac{z}{z_g}\right)^{\frac{2}{\alpha}}$$

$$K_z = 2,01 \times \left(\frac{130,5}{365,75}\right)^{\frac{2}{7}}$$

$$K_z = 1,5$$

5. Koefisien tekanan eksternal ( $C_p$ ), menggunakan tabel 2.12, dengan penggunaan permukaan dinding; sisi angin datang didapat 0,8; sisi angin pergi -0,5; sisi tepi -0,7.
6. Menghitung tekanan velositas ( $q$  atau  $q_i$ ), menggunakan persamaan 2.7.
- $$q_z = 0.613 \times K_z \times K_{zt} \times K_d \times V^2$$
- $$q_z = 0.613 \times 1,5 \times 1 \times 0,85 \times 19,25^2$$
- $$q_z = 289,63 \text{ N/m}^2$$
7. Menghitung tekanan angin ( $p$ ), menggunakan persamaan 2.8, dengan ketinggian ( $z$ ) 130,5.

- a) Angin tekan.

$$p = q \times G \times C_p - q_i \times GC_{pi}$$

$$p = 289,63 \times 0,85 \times 0,85 - 289,63 \times 0,18$$

$$p = 144,82 \text{ N/m}^2$$

b) Angin tepi.

$$p = q \times G \times C_p - q_i \times GC_{pi}$$

$$p = 289,63 \times 0,85 \times -0,7 - 289,63 \times -0,18$$

$$p = -120,2 \text{ N/m}^2$$

c) Angin hisab.

$$p = q \times G \times C_p - q_i \times GC_{pi}$$

$$p = 289,63 \times 0,85 \times -0,5 - 289,63 \times -0,18$$

$$p = -70,96 \text{ N/m}^2$$

Tabel 3.15 Hasil rekapitulasi tekanan angin

| Story           | Tinggi<br>Bangunan<br>m | K <sub>z</sub> | q <sub>z</sub> = q <sub>i</sub><br>N/m <sup>2</sup> | P                         |                          |                           |
|-----------------|-------------------------|----------------|---|---------------------------|--------------------------|---------------------------|
|                 |                         |                |   | Tekan<br>N/m <sup>2</sup> | Tepi<br>N/m <sup>2</sup> | Hisab<br>N/m <sup>2</sup> |
| Ground<br>Floor | 5.5                     | 0.61           | 117.78  | 58.89                     | -48.88                   | -28.86                    |
| Upper<br>Grpond | 9.5                     | 0.71           | 137.09  | 68.55                     | -56.9                    | -33.59                    |
| 1               | 13                      | 0.78           | 150.61  | 75.31                     | -62.51                   | -36.9                     |
| 2               | 16.4                    | 0.83           | 160.26  | 80.13                     | -66.51                   | -39.27                    |
| 3               | 19.8                    | 0.88           | 169.92  | 84.96                     | -70.52                   | -41.64                    |
| 4               | 23.2                    | 0.92           | 177.64  | 88.82                     | -73.73                   | -43.53                    |
| 5               | 26.6                    | 0.96           | 185.36  | 92.68                     | -76.93                   | -45.42                    |
| 6               | 30                      | 0.99           | 191.16  | 95.58                     | -79.34                   | -46.84                    |
| 7               | 33.4                    | 1.02           | 196.95  | 98.48                     | -81.74                   | -48.26                    |
| 8               | 36.8                    | 1.05           | 202.74  | 101.37                    | -84.14                   | -49.68                    |
| 9               | 40.2                    | 1.07           | 206.6   | 103.3                     | -85.74                   | -50.62                    |
| 10              | 43.6                    | 1.1            | 212.39  | 106.2                     | -88.15                   | -52.04                    |
| 11              | 47                      | 1.12           | 216.26  | 108.13                    | -89.75                   | -52.99                    |
| 12              | 50.4                    | 1.15           | 222.05  | 111.03                    | -92.16                   | -54.41                    |
| 13              | 53.8                    | 1.17           | 225.91  | 112.96                    | -93.76                   | -55.35                    |
| 14              | 57.2                    | 1.19           | 229.77  | 114.89                    | -95.36                   | -56.3                     |
| 15              | 60.6                    | 1.21           | 233.63  | 116.82                    | -96.96                   | -57.24                    |
| 16              | 64                      | 1.23           | 237.5   | 118.75                    | -98.57                   | -98.57                    |
| 17              | 67.4                    | 1.24           | 239.43  | 119.72                    | -99.37                   | -58.67                    |
| 18              | 70.8                    | 1.26           | 243.29  | 121.65                    | -100.97                  | -59.61                    |
| 19              | 74.2                    | 1.28           | 247.15  | 123.58                    | -102.57                  | -60.56                    |
| 20              | 77.6                    | 1.3            | 251.01  | 125.51                    | -104.17                  | -61.5                     |

Tabel 3.15 Hasil rekapitulasi tekanan angin (-lanjutan)

| Story      | Tinggi<br>Bangunan<br>m | K <sub>z</sub> | q <sub>z</sub> = q <sub>i</sub><br>N/m <sup>2</sup> | P                         |                          |                           |
|------------|-------------------------|----------------|---|---------------------------|--------------------------|---------------------------|
|            |                         |                |   | Tekan<br>N/m <sup>2</sup> | Tepi<br>N/m <sup>2</sup> | Hisab<br>N/m <sup>2</sup> |
| 21         | 81                      | 1.31           | 252.94  | 126.47                    | -104.98                  | -61.98                    |
| 22         | 84.4                    | 1.33           | 256.8   | 128.4                     | -106.58                  | -62.92                    |
| 23         | 87.8                    | 1.34           | 258.73  | 129.37                    | -107.38                  | -63.39                    |
| 24         | 91.2                    | 1.36           | 262.6   | 131.3                     | -108.98                  | -64.34                    |
| 25         | 94.6                    | 1.37           | 264.53  | 132.27                    | -109.78                  | -64.81                    |
| 26         | 98                      | 1.38           | 266.46  | 133.23                    | -110.59                  | -65.29                    |
| 27         | 101.4                   | 1.4            | 270.32  | 135.16                    | -112.19                  | -66.23                    |
| 28         | 104.8                   | 1.41           | 272.25  | 136.13                    | -112.99                  | -66.71                    |
| 29         | 108.2                   | 1.42           | 274.18  | 137.09                    | -113.79                  | -67.18                    |
| 30         | 111.6                   | 1.44           | 278.04  | 139.02                    | -115.39                  | -68.12                    |
| 31         | 115                     | 1.45           | 279.97  | 139.99                    | -116.19                  | -68.6                     |
| 32         | 118.4                   | 1.46           | 281.9   | 140.95                    | -116.99                  | -69.07                    |
| 33         | 121.8                   | 1.47           | 283.83  | 141.92                    | -117.79                  | -69.54                    |
| Roof floor | 125.2                   | 1.48           | 285.77  | 142.89                    | -118.6                   | -70.02                    |
| Top Floor  | 128                     | 1.49           | 287.7   | 143.85                    | -119.4                   | -70.49                    |
| FFL        | 130.5                   | 1.5            | 289.63  | 144.82                    | -120.2                   | -70.96                    |

8. Menghitung beban angin sebagai beban terpusat ke *joint* pertemuan kolom dengan balok, *ground floor*.

Diketahui :

Lebar daerah tekan = hisab = 29,85 m

Lebar daerah tepi = 26,45 m

Jumlah *joint* daerah tekan = hisab = 6 titik

Jumlah *joint* daerah tepi = 5 titik

Selisih ketinggian lower – ground = 4 m

a) Angin tekan.

$$W \text{ hisab} = \frac{\text{Ptekan} \times \text{luas daerah tekan}}{\text{Jumlah } \textit{joint} \text{ daerah tekan}}$$

$$W \text{ hisab} = \frac{58,89 \times (4 \times 29,85)}{6}$$

$$W \text{ hisab} = 1171,91 \text{ N}$$

b) Angin tepi.

$$W \text{ hisab} = \frac{\text{Ptepi} \times \text{luas daerah tepi}}{\text{Jumlah } \textit{joint} \text{ daerah tepi}}$$

$$W \text{ hisab} = \frac{-48,88 \times (4 \times 26,45)}{5}$$

$$W \text{ hisab} = -1034,3 \text{ N}$$

c) Angin hisab.

$$W \text{ hisab} = \frac{\text{Phisab} \times \text{luas daerah hisab}}{\text{Jumlah joint daerah hisab}}$$

$$W \text{ hisab} = \frac{-28,86 \times (4 \times 29,85)}{6}$$

$$W \text{ hisab} = -574,31 \text{ N}$$

Tabel 3.16 Hasil rekapitulasi beban angin pada sebagai beban terpusat ke *joint* pertemuan kolom dengan balok

| Story        | Ketinggian (m) | Lebar bangunan |       | Jumlah joint  |      | Beban (W) |         |         |
|--------------|----------------|----------------|-------|---------------|------|-----------|---------|---------|
|              |                | Tekan = Hisab  | Tepi  | Tekan = Hisab | Tepi | Tekan     | Tepi    | Hisab   |
|              |                | m              | m     | buah          |      | N         | N       | N       |
| Ground Floor | 4              | 29.85          | 26.45 | 6             | 5    | 1171.91   | -1034.3 | -574.31 |
| Upper Grpond | 4              | 29.85          | 26.45 | 6             | 5    | 1364.15   | -1204   | -668.44 |
| 1            | 3.5            | 29.85          | 26.45 | 6             | 5    | 1311.34   | -1157.4 | -642.52 |
| 2            | 3.4            | 29.85          | 26.45 | 6             | 5    | 1355.4    | -1196.2 | -664.25 |
| 3            | 3.4            | 29.85          | 26.45 | 6             | 5    | 1437.1    | -1268.4 | -704.34 |
| 4            | 3.4            | 29.85          | 26.45 | 6             | 5    | 1502.39   | -1326.1 | -736.31 |
| 5            | 3.4            | 29.85          | 26.45 | 6             | 5    | 1567.68   | -1383.7 | -768.28 |
| 6            | 3.4            | 29.85          | 26.45 | 6             | 5    | 1616.74   | -1427   | -792.3  |
| 7            | 3.4            | 29.85          | 26.45 | 6             | 5    | 1665.79   | -1470.2 | -816.32 |
| 8            | 3.4            | 29.85          | 26.45 | 6             | 5    | 1714.67   | -1513.3 | -840.34 |
| 9            | 3.4            | 29.85          | 26.45 | 6             | 5    | 1747.32   | -1542.1 | -856.24 |
| 10           | 3.4            | 29.85          | 26.45 | 6             | 5    | 1796.37   | -1585.5 | -880.26 |
| 11           | 3.4            | 29.85          | 26.45 | 6             | 5    | 1829.02   | -1614.2 | -896.33 |
| 12           | 3.4            | 29.85          | 26.45 | 6             | 5    | 1878.07   | -1657.6 | -920.35 |
| 13           | 3.4            | 29.85          | 26.45 | 6             | 5    | 1910.72   | -1686.4 | -936.25 |
| 14           | 3.4            | 29.85          | 26.45 | 6             | 5    | 1943.36   | -1715.1 | -952.31 |
| 15           | 3.4            | 29.85          | 26.45 | 6             | 5    | 1976.01   | -1743.9 | -968.21 |

Tabel 3.16 Hasil rekapitulasi beban angin pada sebagai beban terpusat ke *joint* pertemuan kolom dengan balok (-lanjutan)

| Story      | Ketinggian (m) | Lebar bangunan   |       | Jumlah <i>joint</i> |      | Beban (W) |         |         |
|------------|----------------|------------------|-------|---------------------|------|-----------|---------|---------|
|            |                | Tekan =<br>Hisab | Tepi  | Tekan =<br>Hisab    | Tepi | Tekan     | Tepi    | Hisab   |
|            |                | m                | m     |                     |      | N         | N       | N       |
| 16         | 3.4            | 29.85            | 26.45 | 6                   | 5    | 2008.66   | -1772.9 | -984.3  |
| 17         | 3.4            | 29.85            | 26.45 | 6                   | 5    | 2025.1    | -1787.3 | -992.5  |
| 18         | 3.4            | 29.85            | 26.45 | 6                   | 5    | 2057.71   | -1816   | -1008.3 |
| 19         | 3.4            | 29.85            | 26.45 | 6                   | 5    | 2090.36   | -1844.8 | -1024.4 |
| 20         | 3.4            | 29.85            | 26.45 | 6                   | 5    | 2123      | -1873.6 | -1040.3 |
| 21         | 3.4            | 29.85            | 26.45 | 6                   | 5    | 2139.24   | -1888.2 | -1048.4 |
| 22         | 3.4            | 29.85            | 26.45 | 6                   | 5    | 2171.89   | -1916.9 | -1064.3 |
| 23         | 3.4            | 29.85            | 26.45 | 6                   | 5    | 2188.29   | -1931.3 | -1072.2 |
| 24         | 3.4            | 29.85            | 26.45 | 6                   | 5    | 2220.94   | -1960.1 | -1088.3 |
| 25         | 3.4            | 29.85            | 26.45 | 6                   | 5    | 2237.35   | -1974.5 | -1096.3 |
| 26         | 3.4            | 29.85            | 26.45 | 6                   | 5    | 2253.59   | -1989.1 | -1104.4 |
| 27         | 3.4            | 29.85            | 26.45 | 6                   | 5    | 2286.23   | -2017.8 | -1120.3 |
| 28         | 3.4            | 29.85            | 26.45 | 6                   | 5    | 2302.64   | -2032.2 | -1128.4 |
| 29         | 3.4            | 29.85            | 26.45 | 6                   | 5    | 2318.88   | -2046.6 | -1136.3 |
| 30         | 3.4            | 29.85            | 26.45 | 6                   | 5    | 2351.52   | -2075.4 | -1152.2 |
| 31         | 3.4            | 29.85            | 26.45 | 6                   | 5    | 2367.93   | -2089.8 | -1160.4 |
| 32         | 3.4            | 29.85            | 26.45 | 6                   | 5    | 2384.17   | -2104.2 | -1168.3 |
| 33         | 3.4            | 29.85            | 26.45 | 6                   | 5    | 2400.58   | -2118.6 | -1176.3 |
| Roof floor | 3.4            | 29.85            | 26.45 | 6                   | 5    | 2416.98   | -2133.1 | -1184.4 |
| Top Floor  | 2.8            | 14.4             | 7.8   | 6                   | 5    | 966.67    | -521.54 | -473.7  |
| FFL        | 2.5            | 14.4             | 7.8   | 6                   | 5    | 868.92    | -468.78 | -425.76 |

9. Beban angin pada penutup atap

Berdasarkan (BSN, SNI 1727-2013 pada pasal 27.1.5) sebesar  $0,38 \text{ kN/m}^2$

c. Beban hujan

Analisis untuk mendapatkan beban hujan, menggunakan persamaan 2.9, jika direncana  $d_s = 15 \text{ mm}$  dan  $d_h = 20 \text{ mm}$ .

$$R = 0,0098 \times (d_s + d_h)$$

$$R = 0,0098 \times (15 + 20)$$

$$R = 0,294 \text{ kN/m}^2$$

d. Beban gempa

Analisis desain beban gempa berupa *time history*, dengan menggunakan tiga buah rekaman data gempa; Gempa Tabas di Iran 1978 sebesar  $M = 7,35$ ; Gempa Kobe di Jepang 1995 sebesar  $M = 6,90$ ; Gempa Imperial Valley di California 1979 sebesar  $M = 6,53$ . Pemilihan tiga buah gempa berdasarkan (Irsyam, et al., 2017) bahwa Surabaya memiliki dua sumber sesar gempa yaitu baribis-kendeng dan fold-trust dengan magnitudo maksimal sebesar 6,5, maka untuk pemilihan data gempa dipilih yang melebihi magnitudenya 6,5. Untuk analisis beban gempa, dilakukan sebagai berikut :

1. Respons spektrum desain

- a) Kategori jenis tanah dengan mengklasifikasikan koefisien situs menggunakan persamaan 2.14, ke kelas situs menggunakan tabel 2.17, dengan perhitungan sebagai berikut :

$$\text{Analisis pada kedalaman } 1-1,5 \text{ m, pada kedalaman } \frac{d_i}{N_i} = \frac{2}{6} = 0,33$$

Maka untuk pengeboran dengan titik pengeboran BH-1.

$$\bar{N} = \frac{\sum_{j=1}^n d_i}{\sum_{j=1}^n \frac{d_i}{N_i}}$$

$$\bar{N} = \frac{30}{3.37}$$

$$\bar{N} = 0,33 \rightarrow \text{tanah lunak}$$

Tabel 3.17 Hasil perhitungan koefisien situs pada titik pengeboran BH-

1

| No | SPT Depth<br>[m] | BH - 1       |                |           |                 |
|----|------------------|--------------|----------------|-----------|-----------------|
|    |                  | Soil<br>Type | N<br>[blow/ft] | di<br>[m] | di / N<br>[ - ] |
| 1  | 1.00 - 1.50      | Cohesive     | 6              | 2.00      | 0.33            |
| 2  | 3.00 - 3.50      |              | 5              | 2.00      | 0.40            |
| 3  | 5.00 - 5.50      |              | 8              | 2.00      | 0.25            |
| 4  | 7.00 - 7.50      |              | 7              | 2.00      | 0.29            |
| 5  | 9.00 - 9.50      |              | 7              | 3.00      | 0.43            |
| 6  | 11.00 - 11.50    |              | 10             | 1.00      | 0.10            |

Tabel 3.17 Hasil perhitungan koefisien situs pada titik pengeboran  
BH-1 (-lanjutan)

| No            | BH - 1                          |              |                |           |                 |
|---------------|---------------------------------|--------------|----------------|-----------|-----------------|
|               | SPT Depth<br>[m]                | Soil<br>Type | N<br>[blow/ft] | di<br>[m] | di / N<br>[ - ] |
| 7             | 13.00 - 13.50                   | Cohesive     | 10             | 2.00      | 0.20            |
| 8             | 15.00 - 15.50                   |              | 10             | 2.00      | 0.20            |
| 9             | 17.00 - 17.50                   |              | 11             | 2.00      | 0.18            |
| 10            | 19.00 - 19.50                   |              | 12             | 2.00      | 0.17            |
| 11            | 21.00 - 21.50                   |              | 13             | 2.00      | 0.15            |
| 12            | 23.00 - 23.50                   |              | 13             | 2.00      | 0.15            |
| 13            | 25.00 - 25.50                   |              | 10             | 2.00      | 0.20            |
| 14            | 27.00 - 27.50                   |              | 11             | 2.00      | 0.18            |
| 15            | 29.00 - 29.50                   |              | 14             | 2.00      | 0.14            |
| Soil category |                                 | $\Sigma$     | 30.00          |           | 3.37            |
| ==>           | $\Sigma t_i / \Sigma [t_i/N_i]$ |              |                | 8.9       |                 |

Tabel 3.18 Hasil rekapitulasi perhitungan koefisien situs untuk  
menentukan jenis tanah

| Sampel Bor | $\Sigma t_i$ | $\Sigma t_i / N$ | $\overline{N_{BH}}$ | Jenis tanah             |
|------------|--------------|------------------|---------------------|-------------------------|
| BH - 1     | 30           | 8.9              | 8.786               | SE<br><br>(Tanah lunak) |
| BH - 2     | 30           | 9.38             |                     |                         |
| BH - 3     | 30           | 9.62             |                     |                         |
| BH - 4     | 30           | 7.56             |                     |                         |
| BH - 5     | 30           | 8.47             |                     |                         |

- b) Kategori risiko struktur bangunan dan faktor keutamaan gempa ( $I_e$ ), menggunakan tabel 2.16, dengan jenis pemanfaatan gedung apartemen didapat kategori risiko II untuk  $I_e$  kategori II didapat 1.
- c) Parameter percepatan batuan dasar periode pendek 0,2 detik ( $S_s$ ) dan periode 1 detik ( $S_1$ ), menggunakan gambar 2.35 dan gambar 2.35 untuk daerah surabaya didapat  $S_s = 1$  dan  $S_1 = 0,5$ .
- d) Parameter faktor amplikasi getaran terkait percepatan pada getaran periode pendek ( $F_a$ ) dan periode 1 detik ( $F_v$ ), menggunakan tabel 2.18 dengan kelas situs SE didapat  $F_a = 1,1$  dan  $F_v = 2,2$ .

- e) Menghitung parameter percepatan respons spektrum, menggunakan persamaan 2.15 dan persamaan 2.16, dengan analisis sebagai berikut :

$$S_{MS} = F_a \times S_s$$

$$S_{MS} = 1,1 \times 1$$

$$S_{MS} = 1,1$$

$$S_{M1} = F_v \times S_1$$

$$S_{M1} = 2,2 \times 0,5$$

$$S_{M1} = 1,1$$

- f) Menghitung parameter percepatan respons spektrum desain, menggunakan persamaan 2.17 dan persamaan 2.18, dengan analisis sebagai berikut :

$$S_{DS} = \frac{2}{3} \times S_{Ms}$$

$$S_{DS} = \frac{2}{3} \times 1,1$$

$$S_{DS} = 0,73$$

$$S_{D1} = \frac{2}{3} \times S_{M1}$$

$$S_{D1} = \frac{2}{3} \times 1,1$$

$$S_{D1} = 0,73$$

- g) Menggambar respons spektrum desain, yang mempunyai tiga segmen spektrum respons desain sebagai berikut :

- 1) Segmen garis lurus menanjak anatar periode  $T = 0 \leq T < T_o$ , menggunakan persamaan 2.19 sampai persamaan 2.21.

$$S_a = S_{DS} \times 0,4$$

$$S_a = 0,73 \times 0,4$$

$$S_a = 0,292 \text{ g}$$

$$T_o = 0,2 \times \frac{S_{D1}}{S_{DS}}$$

$$T_o = 0,2 \times \frac{0,73}{0,73}$$

$$T_o = 0,2 \text{ detik}$$

Untuk mengkoreksi nilai  $S_a$  berdasarkan persamaan 2.20, maka  $S_a$  sesuai persamaan 2.19, jika nilai  $T_o = 0,2$  maka  $S_a$  menjadi :

$$S_a = S_{DS} \times \left( 0,4 + 0,6 \times \frac{T}{T_o} \right)$$

$$S_a = 0,73 S_{DS} \times \left( 0,4 + 0,6 \times \frac{0}{0,2} \right)$$

$$S_a = 0,292 \text{ g} \rightarrow \text{sama}$$

- 2) Segmen percepatan konstan antara  $T = T_0$  dan  $T = T_s$  ( $S_a = SDS$ ), menggunakan persamaan 2.22.

$$T_s = \frac{S_{D1}}{S_{DS}}$$

$$T_s = \frac{0,73}{0,73}$$

$$T_s = 1 \text{ detik}$$

- 3) Segmen kecepatan konstan menurun untuk periode  $T > T_s$ , menggunakan persamaan 2.23.

$$S_a = \frac{S_{D1}}{T}$$

$$S_a = \frac{0,73}{1,02}$$

$$S_a = 0,72 \text{ detik}$$

Tabel 3.19 Hasil rekapitulasi perhitungan nilai respon spektrum untuk daerah Kota Surabaya pada tanah lunak

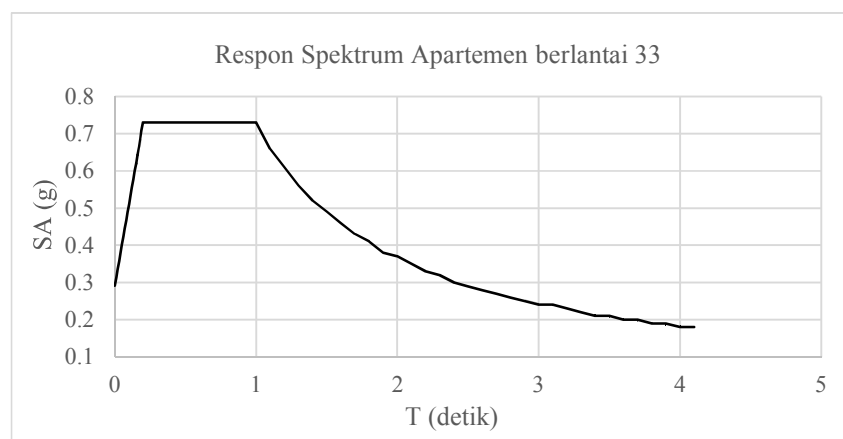
| <i>Period<br/>d<br/>(sec)</i> | <i>Pseudo-<br/>Accerleratio<br/>n (g)</i> | <i>Period<br/>(sec)</i> | <i>Pseudo-<br/>Accerleration<br/>(g)</i> | <i>Period<br/>(sec)</i> | <i>Pseudo-<br/>Accerleration<br/>(g)</i> |
|-------------------------------|---|-------------------------|--|-------------------------|--|
| 0                             | 0.292                                     | 1.36                    | 0.54                                     | 2.72                    | 0.27                                     |
| 0.02                          | 0.3358                                    | 1.38                    | 0.53                                     | 2.74                    | 0.27                                     |
| 0.04                          | 0.3796                                    | 1.4                     | 0.52                                     | 2.76                    | 0.26                                     |
| 0.06                          | 0.4234                                    | 1.42                    | 0.51                                     | 2.78                    | 0.26                                     |
| 0.08                          | 0.4672                                    | 1.44                    | 0.51                                     | 2.8                     | 0.26                                     |
| 0.1                           | 0.511                                     | 1.46                    | 0.5                                      | 2.82                    | 0.26                                     |
| 0.12                          | 0.5548                                    | 1.48                    | 0.49                                     | 2.84                    | 0.26                                     |
| 0.14                          | 0.5986                                    | 1.5                     | 0.49                                     | 2.86                    | 0.26                                     |
| 0.16                          | 0.6424                                    | 1.52                    | 0.48                                     | 2.88                    | 0.25                                     |
| 0.18                          | 0.6862                                    | 1.54                    | 0.47                                     | 2.9                     | 0.25                                     |
| 0.2                           | 0.73                                      | 1.56                    | 0.47                                     | 2.92                    | 0.25                                     |
| 0.22                          | 0.73                                      | 1.58                    | 0.46                                     | 2.94                    | 0.25                                     |
| 0.24                          | 0.73                                      | 1.6                     | 0.46                                     | 2.96                    | 0.25                                     |
| 0.26                          | 0.73                                      | 1.62                    | 0.45                                     | 2.98                    | 0.24                                     |
| 0.28                          | 0.73                                      | 1.64                    | 0.45                                     | 3                       | 0.24                                     |
| 0.3                           | 0.73                                      | 1.66                    | 0.44                                     | 3.02                    | 0.24                                     |
| 0.32                          | 0.73                                      | 1.68                    | 0.43                                     | 3.04                    | 0.24                                     |
| 0.34                          | 0.73                                      | 1.7                     | 0.43                                     | 3.06                    | 0.24                                     |
| 0.36                          | 0.73                                      | 1.72                    | 0.42                                     | 3.08                    | 0.24                                     |
| 0.38                          | 0.73                                      | 1.74                    | 0.42                                     | 3.1                     | 0.24                                     |
| 0.4                           | 0.73                                      | 1.76                    | 0.41                                     | 3.12                    | 0.23                                     |

Tabel 3.19 Hasil rekapitulasi perhitungan nilai respon spektrum untuk daerah Kota Surabaya pada tanah lunak (-lanjutan)

| <i>Period</i><br><i>d</i><br><i>(sec)</i> | <i>Pseudo-</i><br><i>Accerleratio</i><br><i>n (g)</i> | <i>Period</i><br><i>(sec)</i> | <i>Pseudo-</i><br><i>Accerleration</i><br><i>(g)</i> | <i>Period</i><br><i>(sec)</i> | <i>Pseudo-</i><br><i>Accerleration</i><br><i>(g)</i> |
|---|---|-------------------------------|--|-------------------------------|--|
| 0.42                                      | 0.73  | 1.78                          | 0.41   | 3.14                          | 0.23   |
| 0.44                                      | 0.73  | 1.8                           | 0.41   | 3.16                          | 0.23   |
| 0.46                                      | 0.73  | 1.82                          | 0.4  | 3.18                          | 0.23   |
| 0.48                                      | 0.73  | 1.84                          | 0.4  | 3.2                           | 0.23   |
| 0.5                                       | 0.73  | 1.86                          | 0.39   | 3.22                          | 0.23   |
| 0.52                                      | 0.73  | 1.88                          | 0.39   | 3.24                          | 0.23   |
| 0.54                                      | 0.73  | 1.9                           | 0.38   | 3.26                          | 0.22   |
| 0.56                                      | 0.73  | 1.92                          | 0.38   | 3.28                          | 0.22   |
| 0.58                                      | 0.73  | 1.94                          | 0.38   | 3.3                           | 0.22   |
| 0.6                                       | 0.73  | 1.96                          | 0.37   | 3.32                          | 0.22   |
| 0.62                                      | 0.73  | 1.98                          | 0.37   | 3.34                          | 0.22   |
| 0.64                                      | 0.73  | 2                             | 0.37   | 3.36                          | 0.22   |
| 0.66                                      | 0.73  | 2.02                          | 0.36   | 3.38                          | 0.22   |
| 0.68                                      | 0.73  | 2.04                          | 0.36   | 3.4                           | 0.21   |
| 0.7                                       | 0.73  | 2.06                          | 0.35   | 3.42                          | 0.21   |
| 0.72                                      | 0.73  | 2.08                          | 0.35   | 3.44                          | 0.21   |
| 0.74                                      | 0.73  | 2.1                           | 0.35   | 3.46                          | 0.21   |
| 0.76                                      | 0.73  | 2.12                          | 0.34   | 3.48                          | 0.21   |
| 0.78                                      | 0.73  | 2.14                          | 0.34   | 3.5                           | 0.21   |
| 0.8                                       | 0.73  | 2.16                          | 0.34   | 3.52                          | 0.21   |
| 0.82                                      | 0.73  | 2.18                          | 0.33   | 3.54                          | 0.21   |
| 0.84                                      | 0.73  | 2.2                           | 0.33   | 3.56                          | 0.21   |
| 0.86                                      | 0.73  | 2.22                          | 0.33   | 3.58                          | 0.2  |
| 0.88                                      | 0.73  | 2.24                          | 0.33   | 3.6                           | 0.2  |
| 0.9                                       | 0.73  | 2.26                          | 0.32   | 3.62                          | 0.2  |
| 0.92                                      | 0.73  | 2.28                          | 0.32   | 3.64                          | 0.2  |
| 0.94                                      | 0.73  | 2.3                           | 0.32   | 3.66                          | 0.2  |
| 0.96                                      | 0.73  | 2.32                          | 0.31   | 3.68                          | 0.2  |
| 0.98                                      | 0.73  | 2.34                          | 0.31   | 3.7                           | 0.2  |
| 1   | 0.73  | 2.36                          | 0.31   | 3.72                          | 0.2  |
| 1.02                                      | 0.72  | 2.38                          | 0.31   | 3.74                          | 0.2  |
| 1.04                                      | 0.7   | 2.4                           | 0.3  | 3.76                          | 0.19   |
| 1.06                                      | 0.69  | 2.42                          | 0.3  | 3.78                          | 0.19   |
| 1.08                                      | 0.68  | 2.44                          | 0.3  | 3.8                           | 0.19   |
| 1.1                                       | 0.66  | 2.46                          | 0.3  | 3.82                          | 0.19   |
| 1.12                                      | 0.65  | 2.48                          | 0.29   | 3.84                          | 0.19   |

Tabel 3.19 Hasil rekapitulasi perhitungan nilai respon spektrum untuk daerah Kota Surabaya pada tanah lunak (-lanjutan)

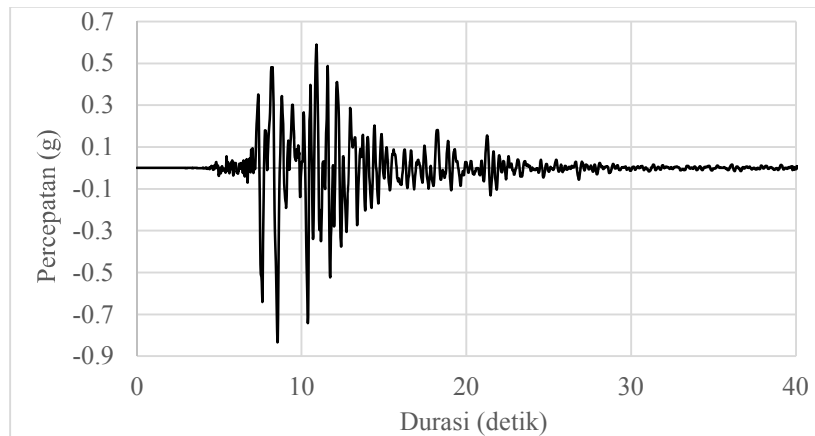
| <i>Period (sec)</i> | <i>Pseudo-Acceleration (g)</i> | <i>Period (sec)</i> | <i>Pseudo-Acceleration (g)</i> | <i>Period (sec)</i> | <i>Pseudo-Acceleration (g)</i> |
|---------------------|--------------------------------|---------------------|--------------------------------|---------------------|--------------------------------|
| 1.14                | 0.64                           | 2.5                 | 0.29                           | 3.86                | 0.19                           |
| 1.16                | 0.63                           | 2.52                | 0.29                           | 3.88                | 0.19                           |
| 1.18                | 0.62                           | 2.54                | 0.29                           | 3.9                 | 0.19                           |
| 1.2                 | 0.61                           | 2.56                | 0.29                           | 3.92                | 0.19                           |
| 1.22                | 0.6                            | 2.58                | 0.28                           | 3.94                | 0.19                           |
| 1.24                | 0.59                           | 2.6                 | 0.28                           | 3.96                | 0.18                           |
| 1.26                | 0.58                           | 2.62                | 0.28                           | 3.98                | 0.18                           |
| 1.28                | 0.57                           | 2.64                | 0.28                           | 4                   | 0.18                           |
| 1.3                 | 0.56                           | 2.66                | 0.27                           | 4.02                | 0.18                           |
| 1.32                | 0.55                           | 2.68                | 0.27                           |                     |                                |
| 1.34                | 0.54                           | 2.7                 | 0.27                           |                     |                                |



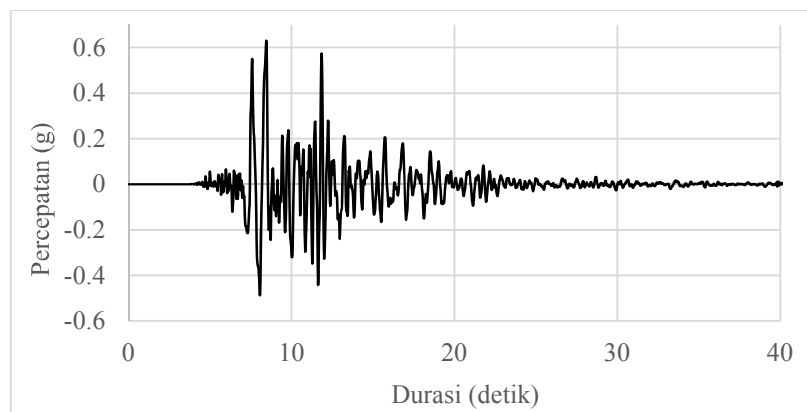
Gambar 3.22 Grafik respon spektrum daerah Kota Surabaya pada tanah lunak.

## 2. Akselogram gempa masukan

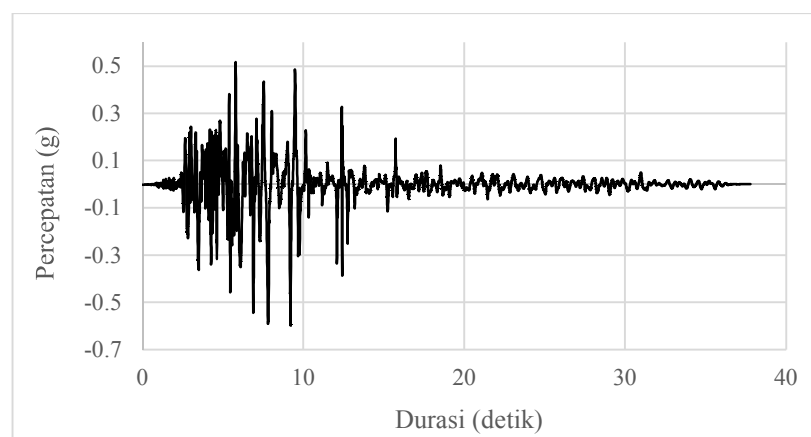
Data gempa yang diambil berupa *ground motion*, asli yang belum diskala terhadap gempa surabaya. Data *ground motion unscaled* disajikan pada gambar 3.23-gambar 3.28.



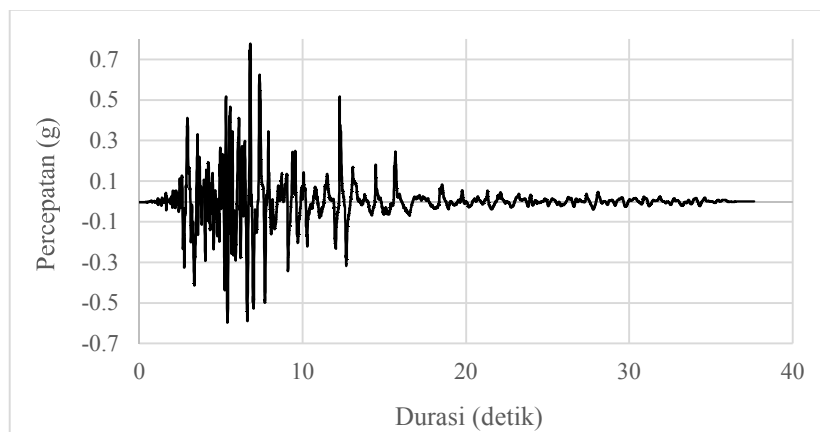
Gambar 3.23 Rekaman Gempa Kobe arah x  
(<https://ngawest2.berkeley.edu/>).



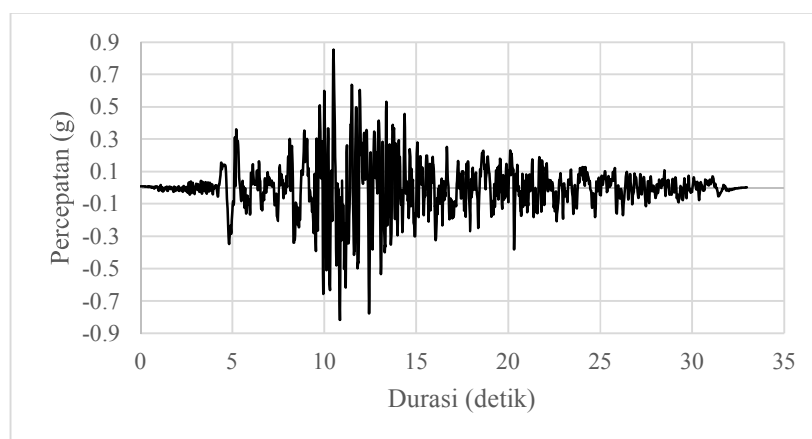
Gambar 3.24 Rekaman Gempa Kobe arah y  
(<https://ngawest2.berkeley.edu/>).



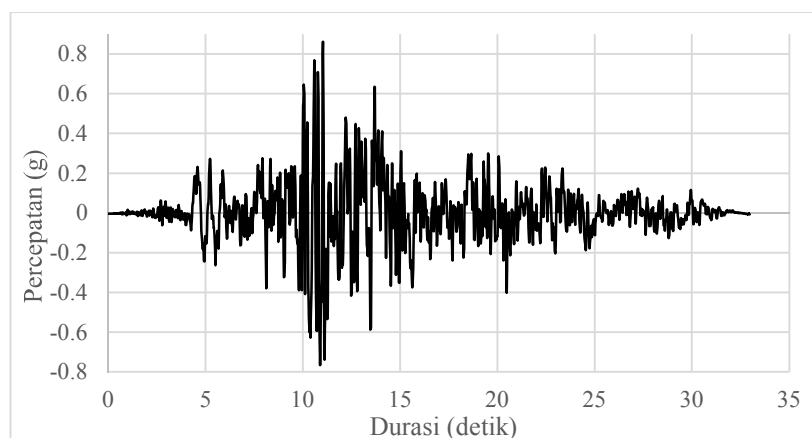
Gambar 3.25 Rekaman Gempa Imperial Valley arah x  
(<https://ngawest2.berkeley.edu/>).



Gambar 3.26 Rekaman Gempa Imperial Valley arah y  
(<https://ngawest2.berkeley.edu/>).



Gambar 3.27 Rekaman Gempa Tabas arah x  
(<https://ngawest2.berkeley.edu/>).



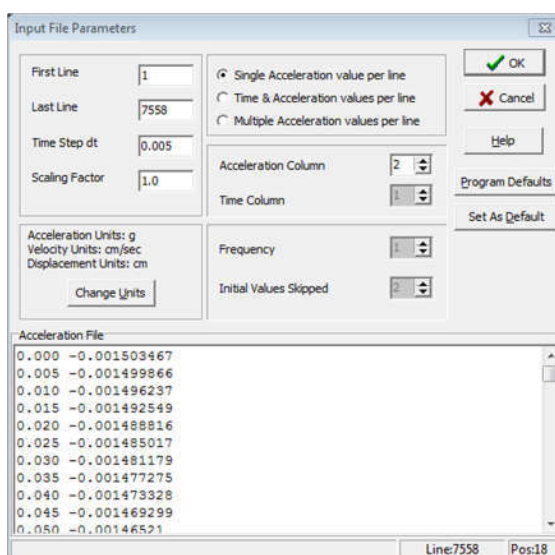
Gambar 3.28 Rekaman Gempa Tabas arah y  
(<https://ngawest2.berkeley.edu/>).

### 3. Respons gempa masukan

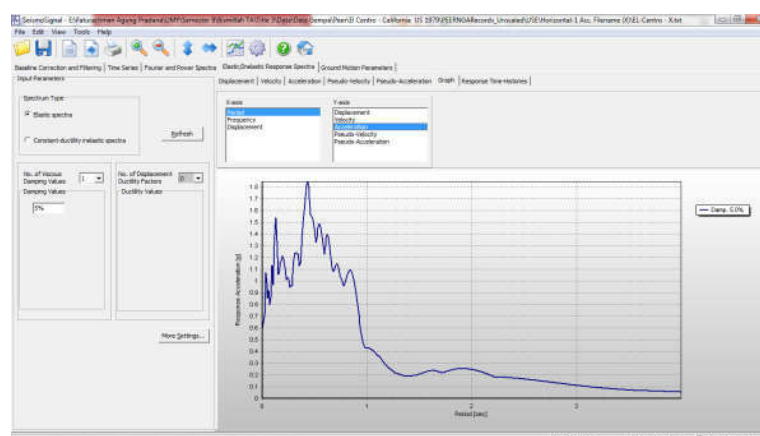
Data *ground motion* dirubah menjadi respon spektrum, menggunakan bantuan program seimosignal, dengan tahapan sebagai berikut :



Gambar 3.29 Tahapan *input file* data *ground motion*.



Gambar 3.30 Tahapan *input data* *ground motion*.



Gambar 3.31 Tahapan hasil grafik respons spektrum

Tabel 3.20 Hasil nilai respon spektrum yang dirubah dari data *ground motion* untuk Gempa Kobe arah x *unscaled*

| <i>Period</i><br>( <i>sec</i> ) | <i>Pseudo-</i><br><i>Accerleration</i><br>( <i>g</i> ) | <i>Period</i><br>( <i>sec</i> ) | <i>Pseudo-</i><br><i>Accerleration</i><br>( <i>g</i> ) | <i>Period</i><br>( <i>sec</i> ) | <i>Pseudo-</i><br><i>Accerleration</i><br>( <i>g</i> ) |
|---------------------------------|--|---------------------------------|--|---------------------------------|--|
| 0                               | 0.8342   | 1.36                            | 0.9482   | 2.72                            | 0.2055   |
| 0.02                            | 0.8445   | 1.38                            | 0.9356   | 2.74                            | 0.2028   |
| 0.04                            | 0.8426   | 1.4                             | 0.9156   | 2.76                            | 0.2  |
| 0.06                            | 0.863  | 1.42                            | 0.8905   | 2.78                            | 0.1973   |
| 0.08                            | 0.8709   | 1.44                            | 0.8623   | 2.8                             | 0.1946   |
| 0.1                             | 0.9309   | 1.46                            | 0.8327   | 2.82                            | 0.1918   |
| 0.12                            | 0.8797   | 1.48                            | 0.8144   | 2.84                            | 0.1891   |
| 0.14                            | 1.1369   | 1.5                             | 0.7994   | 2.86                            | 0.1863   |
| 0.16                            | 1.0616   | 1.52                            | 0.778  | 2.88                            | 0.1834   |
| 0.18                            | 1.144  | 1.54                            | 0.7514   | 2.9                             | 0.1806   |
| 0.2                             | 1.0691   | 1.56                            | 0.7209   | 2.92                            | 0.1777   |
| 0.22                            | 1.1081   | 1.58                            | 0.6871   | 2.94                            | 0.1748   |
| 0.24                            | 1.258  | 1.6                             | 0.6543   | 2.96                            | 0.1719   |
| 0.26                            | 1.7854   | 1.62                            | 0.6428   | 2.98                            | 0.169  |
| 0.28                            | 1.8172   | 1.64                            | 0.6308   | 3                               | 0.1661   |
| 0.3                             | 1.8722   | 1.66                            | 0.6182   | 3.02                            | 0.1633   |
| 0.32                            | 2.1796   | 1.68                            | 0.6051   | 3.04                            | 0.1605   |
| 0.34                            | 2.5933   | 1.7                             | 0.5914   | 3.06                            | 0.1577   |
| 0.36                            | 2.61   | 1.72                            | 0.5775   | 3.08                            | 0.1548   |
| 0.38                            | 2.4452   | 1.74                            | 0.5632   | 3.1                             | 0.152  |
| 0.4                             | 2.2706   | 1.76                            | 0.5487   | 3.12                            | 0.1492   |
| 0.42                            | 2.2543   | 1.78                            | 0.534  | 3.14                            | 0.1464   |
| 0.44                            | 2.3717   | 1.8                             | 0.5195   | 3.16                            | 0.1436   |
| 0.46                            | 2.3739   | 1.82                            | 0.5048   | 3.18                            | 0.1408   |
| 0.48                            | 2.2615   | 1.84                            | 0.4903   | 3.2                             | 0.138  |
| 0.5                             | 2.1297   | 1.86                            | 0.476  | 3.22                            | 0.1353   |
| 0.52                            | 1.8977   | 1.88                            | 0.4618   | 3.24                            | 0.1326   |
| 0.54                            | 1.6391   | 1.9                             | 0.4479   | 3.26                            | 0.1299   |
| 0.56                            | 1.6199   | 1.92                            | 0.4342   | 3.28                            | 0.1272   |
| 0.58                            | 1.4569   | 1.94                            | 0.4208   | 3.3                             | 0.1246   |
| 0.6                             | 1.6046   | 1.96                            | 0.4077   | 3.32                            | 0.122  |
| 0.62                            | 1.6797   | 1.98                            | 0.3948   | 3.34                            | 0.1195   |
| 0.64                            | 1.709  | 2                               | 0.3817   | 3.36                            | 0.1169   |
| 0.66                            | 2.0014   | 2.02                            | 0.3693   | 3.38                            | 0.1144   |
| 0.68                            | 2.1144   | 2.04                            | 0.3571   | 3.4                             | 0.112  |
| 0.7                             | 1.948  | 2.06                            | 0.3455   | 3.42                            | 0.1095   |
| 0.72                            | 1.7108   | 2.08                            | 0.3341   | 3.44                            | 0.1071   |
| 0.74                            | 1.764  | 2.1                             | 0.3229   | 3.46                            | 0.1047   |

Tabel 3.20 Hasil nilai respon spektrum yang dirubah dari data *ground motion* untuk Gempa Kobe arah x *unscaled* (-lanjutan)

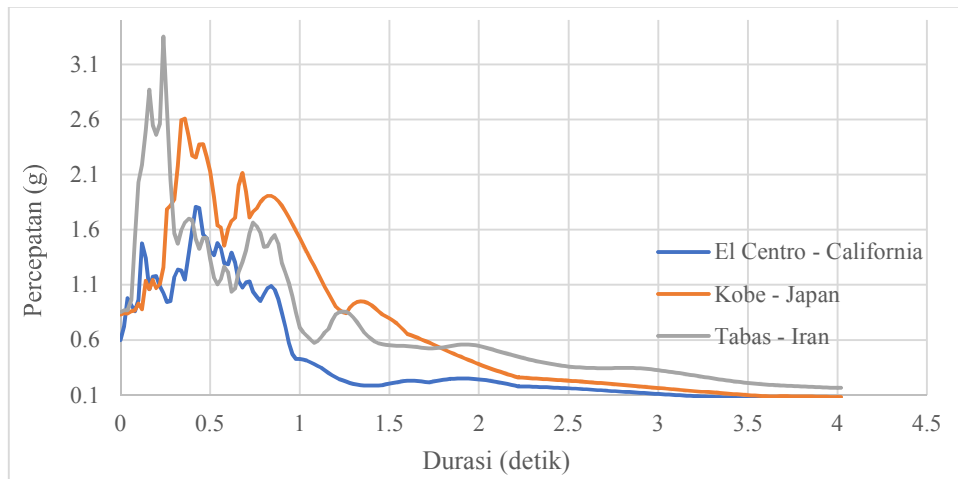
| <i>Period</i><br>( <i>sec</i> ) | <i>Pseudo-</i><br><i>Accerleration</i><br>( <i>g</i> ) | <i>Period</i><br>( <i>sec</i> ) | <i>Pseudo-</i><br><i>Accerleration</i><br>( <i>g</i> ) | <i>Period</i><br>( <i>sec</i> ) | <i>Pseudo-</i><br><i>Accerleration</i><br>( <i>g</i> ) |
|---------------------------------|--|---------------------------------|--|---------------------------------|--|
| 0.76                            | 1.7956   | 2.12                            | 0.3118   | 3.48                            | 0.1024   |
| 0.78                            | 1.8498   | 2.14                            | 0.3009   | 3.5                             | 0.1001   |
| 0.8                             | 1.8871   | 2.16                            | 0.2903   | 3.52                            | 0.0978   |
| 0.82                            | 1.9057   | 2.18                            | 0.2801   | 3.54                            | 0.0955   |
| 0.84                            | 1.906  | 2.2                             | 0.27   | 3.56                            | 0.0933   |
| 0.86                            | 1.8895   | 2.22                            | 0.2622   | 3.58                            | 0.0911   |
| 0.88                            | 1.8588   | 2.24                            | 0.26   | 3.6                             | 0.0894   |
| 0.9                             | 1.8168   | 2.26                            | 0.258  | 3.62                            | 0.0887   |
| 0.92                            | 1.7663   | 2.28                            | 0.2559   | 3.64                            | 0.0891   |
| 0.94                            | 1.7101   | 2.3                             | 0.2538   | 3.66                            | 0.0893   |
| 0.96                            | 1.6503   | 2.32                            | 0.2517   | 3.68                            | 0.0894   |
| 0.98                            | 1.589  | 2.34                            | 0.2496   | 3.7                             | 0.0895   |
| 1                               | 1.5255   | 2.36                            | 0.2476   | 3.72                            | 0.0894   |
| 1.02                            | 1.4625   | 2.38                            | 0.2456   | 3.74                            | 0.0893   |
| 1.04                            | 1.3991   | 2.4                             | 0.2436   | 3.76                            | 0.0891   |
| 1.06                            | 1.3356   | 2.42                            | 0.2414   | 3.78                            | 0.0888   |
| 1.08                            | 1.272  | 2.44                            | 0.2392   | 3.8                             | 0.0884   |
| 1.1                             | 1.2084   | 2.46                            | 0.237  | 3.82                            | 0.088  |
| 1.12                            | 1.1452   | 2.48                            | 0.2349   | 3.84                            | 0.0876   |
| 1.14                            | 1.0826   | 2.5                             | 0.2327   | 3.86                            | 0.087  |
| 1.16                            | 1.0212   | 2.52                            | 0.2305   | 3.88                            | 0.0864   |
| 1.18                            | 0.9617   | 2.54                            | 0.2281   | 3.9                             | 0.0858   |
| 1.2                             | 0.904  | 2.56                            | 0.2258   | 3.92                            | 0.0851   |
| 1.22                            | 0.8757   | 2.58                            | 0.2233   | 3.94                            | 0.0844   |
| 1.24                            | 0.8536   | 2.6                             | 0.2208   | 3.96                            | 0.0836   |
| 1.26                            | 0.844  | 2.62                            | 0.2184   | 3.98                            | 0.0828   |
| 1.28                            | 0.8928   | 2.64                            | 0.2159   | 4                               | 0.082  |
| 1.3                             | 0.9259   | 2.66                            | 0.2134   | 4.02                            | 0.0812   |
| 1.32                            | 0.9452   | 2.68                            | 0.2108   |                                 |  |
| 1.34                            | 0.9522   | 2.7                             | 0.2082   |                                 |  |

Tabel 3.21 Hasil nilai respon spektrum yang dirubah dari data *ground motion* untuk Gempa Kobe arah *y unscaled*

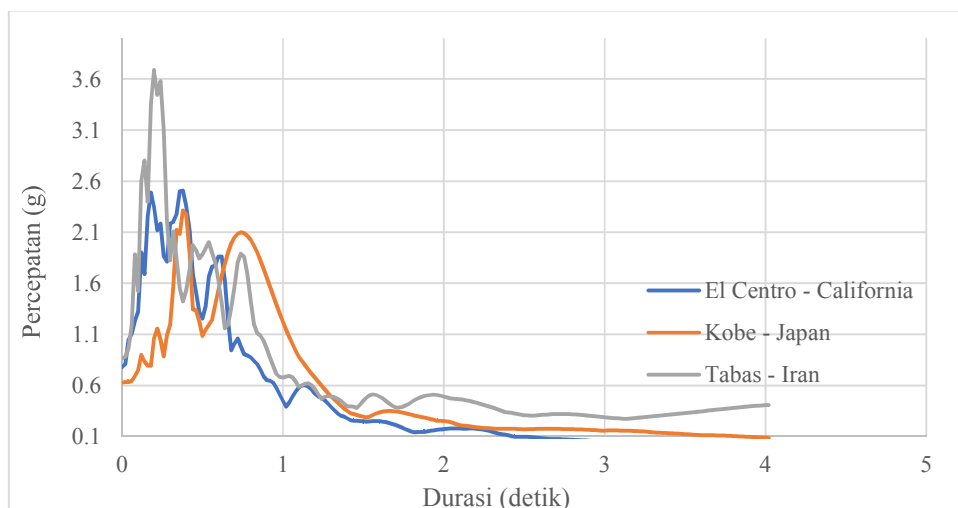
| <i>Period</i><br>( <i>sec</i> ) | <i>Pseudo-</i><br><i>Accerleration</i><br>( <i>g</i> ) | <i>Period</i><br>( <i>sec</i> ) | <i>Pseudo-</i><br><i>Accerleration</i><br>( <i>g</i> ) | <i>Period</i><br>( <i>sec</i> ) | <i>Pseudo-</i><br><i>Accerleration</i><br>( <i>g</i> ) |
|---------------------------------|--|---------------------------------|--|---------------------------------|--|
| 0                               | 0.6297   | 1.36                            | 0.4021   | 2.72                            | 0.1751   |
| 0.02                            | 0.6336   | 1.38                            | 0.3758   | 2.74                            | 0.1746   |
| 0.04                            | 0.6343   | 1.4                             | 0.3515   | 2.76                            | 0.1739   |
| 0.06                            | 0.6427   | 1.42                            | 0.3293   | 2.78                            | 0.1731   |
| 0.08                            | 0.6945   | 1.44                            | 0.3185   | 2.8                             | 0.1722   |
| 0.1                             | 0.7505   | 1.46                            | 0.3098   | 2.82                            | 0.1711   |
| 0.12                            | 0.9007   | 1.48                            | 0.3015   | 2.84                            | 0.1699   |
| 0.14                            | 0.8355   | 1.5                             | 0.2933   | 2.86                            | 0.1687   |
| 0.16                            | 0.795  | 1.52                            | 0.2853   | 2.88                            | 0.1673   |
| 0.18                            | 0.7938   | 1.54                            | 0.2938   | 2.9                             | 0.1658   |
| 0.2                             | 1.0597   | 1.56                            | 0.3114   | 2.92                            | 0.1643   |
| 0.22                            | 1.1573   | 1.58                            | 0.3256   | 2.94                            | 0.1626   |
| 0.24                            | 1.0453   | 1.6                             | 0.3362   | 2.96                            | 0.1609   |
| 0.26                            | 0.8829   | 1.62                            | 0.3435   | 2.98                            | 0.1591   |
| 0.28                            | 1.0914   | 1.64                            | 0.3479   | 3                               | 0.1586   |
| 0.3                             | 1.196  | 1.66                            | 0.3496   | 3.02                            | 0.1594   |
| 0.32                            | 1.5702   | 1.68                            | 0.3489   | 3.04                            | 0.1597   |
| 0.34                            | 2.1231   | 1.7                             | 0.3462   | 3.06                            | 0.1597   |
| 0.36                            | 2.0832   | 1.72                            | 0.3417   | 3.08                            | 0.1594   |
| 0.38                            | 2.3129   | 1.74                            | 0.3357   | 3.1                             | 0.1589   |
| 0.4                             | 2.279  | 1.76                            | 0.3285   | 3.12                            | 0.1585   |
| 0.42                            | 1.894  | 1.78                            | 0.3204   | 3.14                            | 0.1579   |
| 0.44                            | 1.3453   | 1.8                             | 0.3121   | 3.16                            | 0.157  |
| 0.46                            | 1.337  | 1.82                            | 0.3043   | 3.18                            | 0.1559   |
| 0.48                            | 1.2288   | 1.84                            | 0.2973   | 3.2                             | 0.1544   |
| 0.5                             | 1.0851   | 1.86                            | 0.2911   | 3.22                            | 0.1526   |
| 0.52                            | 1.15   | 1.88                            | 0.2849   | 3.24                            | 0.1504   |
| 0.54                            | 1.195  | 1.9                             | 0.278  | 3.26                            | 0.1479   |
| 0.56                            | 1.2416   | 1.92                            | 0.2705   | 3.28                            | 0.1451   |
| 0.58                            | 1.3938   | 1.94                            | 0.2624   | 3.3                             | 0.142  |
| 0.6                             | 1.5354   | 1.96                            | 0.2535   | 3.32                            | 0.1386   |
| 0.62                            | 1.6705   | 1.98                            | 0.2544   | 3.34                            | 0.1376   |
| 0.64                            | 1.7956   | 2                               | 0.2525   | 3.36                            | 0.1367   |
| 0.66                            | 1.9044   | 2.02                            | 0.248  | 3.38                            | 0.1355   |
| 0.68                            | 1.9904   | 2.04                            | 0.2411   | 3.4                             | 0.1342   |
| 0.7                             | 2.0503   | 2.06                            | 0.2322   | 3.42                            | 0.1327   |
| 0.72                            | 2.0854   | 2.08                            | 0.2215   | 3.44                            | 0.131  |
| 0.74                            | 2.0989   | 2.1                             | 0.2107   | 3.46                            | 0.1291   |

Tabel 3.21 Hasil nilai respon spektrum yang dirubah dari data *ground motion* untuk Gempa Kobe arah *y unscaled* (-lanjutan)

| <i>Period</i><br>( <i>sec</i> ) | <i>Pseudo-</i><br><i>Accerleration</i><br>( <i>g</i> ) | <i>Period</i><br>( <i>sec</i> ) | <i>Pseudo-</i><br><i>Accerleration</i><br>( <i>g</i> ) | <i>Period</i><br>( <i>sec</i> ) | <i>Pseudo-</i><br><i>Accerleration</i><br>( <i>g</i> ) |
|---------------------------------|--|---------------------------------|--|---------------------------------|--|
| 0.76                            | 2.0921   | 2.12                            | 0.2087   | 3.48                            | 0.1271   |
| 0.78                            | 2.0672   | 2.14                            | 0.2052   | 3.5                             | 0.1249   |
| 0.8                             | 2.0261   | 2.16                            | 0.2004   | 3.52                            | 0.1226   |
| 0.82                            | 1.9706   | 2.18                            | 0.1943   | 3.54                            | 0.1202   |
| 0.84                            | 1.9029   | 2.2                             | 0.191  | 3.56                            | 0.1177   |
| 0.86                            | 1.8257   | 2.22                            | 0.1888   | 3.58                            | 0.1156   |
| 0.88                            | 1.742  | 2.24                            | 0.1864   | 3.6                             | 0.1153   |
| 0.9                             | 1.6548   | 2.26                            | 0.184  | 3.62                            | 0.1148   |
| 0.92                            | 1.5664   | 2.28                            | 0.1817   | 3.64                            | 0.1142   |
| 0.94                            | 1.4783   | 2.3                             | 0.1794   | 3.66                            | 0.1135   |
| 0.96                            | 1.3917   | 2.32                            | 0.1773   | 3.68                            | 0.1127   |
| 0.98                            | 1.3078   | 2.34                            | 0.1763   | 3.7                             | 0.1118   |
| 1                               | 1.2253   | 2.36                            | 0.1765   | 3.72                            | 0.1107   |
| 1.02                            | 1.1478   | 2.38                            | 0.1766   | 3.74                            | 0.1096   |
| 1.04                            | 1.0741   | 2.4                             | 0.1764   | 3.76                            | 0.1084   |
| 1.06                            | 1.0045   | 2.42                            | 0.1759   | 3.78                            | 0.1071   |
| 1.08                            | 0.9391   | 2.44                            | 0.1752   | 3.8                             | 0.1058   |
| 1.1                             | 0.8817   | 2.46                            | 0.174  | 3.82                            | 0.1044   |
| 1.12                            | 0.8375   | 2.48                            | 0.1726   | 3.84                            | 0.1029   |
| 1.14                            | 0.7954   | 2.5                             | 0.1714   | 3.86                            | 0.1014   |
| 1.16                            | 0.7545   | 2.52                            | 0.1725   | 3.88                            | 0.0998   |
| 1.18                            | 0.715  | 2.54                            | 0.1736   | 3.9                             | 0.0981   |
| 1.2                             | 0.6754   | 2.56                            | 0.1744   | 3.92                            | 0.0964   |
| 1.22                            | 0.6368   | 2.58                            | 0.175  | 3.94                            | 0.0947   |
| 1.24                            | 0.5991   | 2.6                             | 0.1755   | 3.96                            | 0.0929   |
| 1.26                            | 0.5623   | 2.62                            | 0.1758   | 3.98                            | 0.0911   |
| 1.28                            | 0.5268   | 2.64                            | 0.1759   | 4                               | 0.0892   |
| 1.3                             | 0.4928   | 2.66                            | 0.176  | 4.02                            | 0.0874   |
| 1.32                            | 0.4607   | 2.68                            | 0.1758   |                                 |  |
| 1.34                            | 0.4305   | 2.7                             | 0.1755   |                                 |  |



Gambar 3.32 Rekapitulasi grafik respon spektrum gempa masukan arah x *unscaled*.



Gambar 3.33 Rekapitulasi grafik respon spektrum gempa masukan arah y *unscaled*.

#### 4. Penskalaan respons spektrum

- a) Menskala periode respons spektrum gempa masukan pada rentang  $0,2T$  hingga  $1,5T$ .

Menentukan parameter  $T$  yang digunakan berdasarkan nilai output  $T_c$  dari  $T_{\text{tabas}}$ , dan nilai  $T_a$  menggunakan persamaan 2.10

$$T_c = 2,6719 \text{ detik.}$$

Niali  $C_t$  diambil dari tabel 2.13 dengan tipe struktur rangka beton pemikul momen  $C_t = 0,0466^a$  dan  $x = 0,9$

Nilai  $h_n$  merupakan ketinggian struktur yaitu 130,5 m.

$$T_a = C_t \times h_n^x$$

$$T_a = 0,0466 \times 130,5^{0,9}$$

$$T_a = 3,7362 \text{ detik}$$

Niali  $C_u$  diambil dari tabel 2.14 dengan parameter  $S_{D1} = 0,73$ , didapat  $C_u = 1,4$

$$C_u \times T_a$$

$$1,4 \times 3,7362 = 5,2307 \text{ detik}$$

Cek T

$T_c > C_u \times T_a$  maka T yang dipakai  $C_u \times T_a$

$$T_c = 3,7362 \text{ detik} > C_u \times T_a = 5,2307 \text{ detik} \rightarrow \text{tidak menentukan}$$

$T_a < T_c < C_u \times T_a$  maka T yang dipakai  $T_c$

$$T_a = 3,7362 \text{ detik} < T_c = 2,6719 \text{ detik} < C_u \times T_a = 5,2307 \text{ detik} \rightarrow \text{tidak menentukan}$$

$T_c < T_a$  maka T yang dipakai  $T_a$

$$T_c = 2,6719 \text{ detik} < T_a = 3,7362 \text{ detik} \rightarrow \text{menentukan } T_a = T_a = 3,7362 \text{ detik}$$

Maka untuk T penentuan periode getar struktur umumnya cek T yang menentukan dalam penentuan T, karena struktur tersebut sebelumnya, belum selesai dimodelkan seutuhnya, maka T yang diambil adalah T dengan bantuan software yaitu  $T_c = 2,6719$  detik

$$0,2 T$$

$$0,2 \times 2,6719 = 0,534 \text{ detik}$$

$$1,5 T$$

$$1,5 \times 2,6719 = 4,008 \text{ detik}$$

b) Faktor skala gempa, menggunakan persamaan 2.11, dengan analisis sebagai berikut

Tabel 3.22 Hasil nilai respon spektrum untuk Gempa Kobe arah  $x$  scaled

| $\bar{A}_i \times A_i$<br>ASNI<br>$x$<br>GRDMTN | $A_i \times A_i$<br>AGRM<br>$x$<br>GRDMTN | $\bar{A}_i \times A_i$<br>ASNI<br>$x$<br>GRDMTN | $A_i \times A_i$<br>AGRM<br>$x$<br>GRDMTN | $\bar{A}_i \times A_i$<br>ASNI<br>$x$<br>GRDMTN | $A_i \times A_i$<br>AGRM<br>$x$<br>GRDMTN |
|---|---|---|---|---|---|
| 1.385321  | 3.601265                                  | 0.254302  | 0.349754                                  | 0.045850  | 0.033636                                  |
| 1.196543  | 2.686649                                  | 0.242550  | 0.333506                                  | 0.045150  | 0.032616                                  |
| 1.182527  | 2.624076                                  | 0.236544  | 0.317194                                  | 0.044425  | 0.031577                                  |
| 1.063537  | 2.122558                                  | 0.224967  | 0.301072                                  | 0.043700  | 0.030555                                  |
| 1.171358  | 2.574741                                  | 0.218940  | 0.285156                                  | 0.042975  | 0.029550                                  |
| 1.226181  | 2.821392                                  | 0.212995  | 0.269880                                  | 0.040560  | 0.028561                                  |
| 1.24757   | 2.920681                                  | 0.201920  | 0.254823                                  | 0.039864  | 0.027589                                  |
| 1.461022  | 4.005602                                  | 0.196120  | 0.240394                                  | 0.039192  | 0.026667                                  |
| 1.543512  | 4.470687                                  | 0.185640  | 0.226576                                  | 0.038520  | 0.025760                                  |
| 1.42204   | 3.794704                                  | 0.180102  | 0.213259                                  | 0.037848  | 0.024869                                  |
| 1.248884  | 2.926837                                  | 0.170202  | 0.200614                                  | 0.037152  | 0.023963                                  |
| 1.28772   | 3.111696                                  | 0.164996  | 0.188530                                  | 0.036480  | 0.023104                                  |
| 1.310788  | 3.224179                                  | 0.159904  | 0.177073                                  | 0.034316  | 0.022261                                  |
| 1.350354  | 3.421760                                  | 0.150849  | 0.166219                                  | 0.033672  | 0.021433                                  |
| 1.377583  | 3.561146                                  | 0.146076  | 0.155867                                  | 0.033028  | 0.020621                                  |
| 1.391161  | 3.631692                                  | 0.141229  | 0.145695                                  | 0.032384  | 0.019825                                  |
| 1.39138   | 3.632836                                  | 0.132948  | 0.136382                                  | 0.031740  | 0.019044                                  |
| 1.379335  | 3.570210                                  | 0.128556  | 0.127520                                  | 0.031119  | 0.018306                                  |
| 1.356924  | 3.455137                                  | 0.120925  | 0.119370                                  | 0.030498  | 0.017583                                  |
| 1.326264  | 3.300762                                  | 0.116935  | 0.111623                                  | 0.028578  | 0.016874                                  |
| 1.289399  | 3.119816                                  | 0.113015  | 0.104264                                  | 0.027984  | 0.016180                                  |
| 1.248373  | 2.924442                                  | 0.106012  | 0.097219                                  | 0.027412  | 0.015525                                  |
| 1.204719  | 2.723490                                  | 0.102306  | 0.090541                                  | 0.026840  | 0.014884                                  |
| 1.15997   | 2.524921                                  | 0.098702  | 0.084274                                  | 0.026290  | 0.014280                                  |
| 1.113615  | 2.327150                                  | 0.092433  | 0.078456                                  | 0.025718  | 0.013666                                  |
| 1.053   | 2.138906                                  | 0.089100  | 0.072900                                  | 0.025168  | 0.013087                                  |
| 0.97937   | 1.957481                                  | 0.086526  | 0.068749                                  | 0.023520  | 0.012544                                  |
| 0.921564  | 1.783827                                  | 0.085800  | 0.067600                                  | 0.022995  | 0.011990                                  |
| 0.86496   | 1.617984                                  | 0.082560  | 0.066564                                  | 0.022491  | 0.011470                                  |
| 0.797544  | 1.460231                                  | 0.081888  | 0.065485                                  | 0.021987  | 0.010962                                  |
| 0.74438   | 1.311483                                  | 0.081216  | 0.064414                                  | 0.021504  | 0.010486                                  |
| 0.692864  | 1.172023                                  | 0.078027  | 0.063353                                  | 0.021021  | 0.010020                                  |
| 0.643356  | 1.042849                                  | 0.077376  | 0.062300                                  | 0.020538  | 0.009565                                  |
| 0.596254  | 0.924867                                  | 0.076756  | 0.061306                                  | 0.020055  | 0.009120                                  |

Tabel 3.22 Hasil nilai respon spektrum untuk Gempa Kobe arah x *scaled*

(-lanjutan)

| $\bar{A}_i \times A_i$ | $A_i \times A_i$ | $\bar{A}_i \times A_i$ | $A_i \times A_i$ | $\bar{A}_i \times A_i$ | $A_i \times A_i$ |
|------------------------|------------------|------------------------|------------------|------------------------|------------------|
| ASNI                   | AGRM             | ASNI                   | AGRM             | ASNI                   | AGRM             |
| $x$                    | $x$              | $x$                    | $x$              | $x$                    | $x$              |
| GRDMTN                 | GRDMTN           | GRDMTN                 | GRDMTN           | GRDMTN                 | GRDMTN           |
| 0.48952                | 0.712336         | 0.071760               | 0.057217         | 0.017740               | 0.007868         |
| 0.55144                | 0.817216         | 0.076136               | 0.060319         | 0.019593               | 0.008705         |
| 0.52542                | 0.766850         | 0.073080               | 0.059341         | 0.018220               | 0.008299         |
| 0.503624               | 0.728633         | 0.072420               | 0.058274         | 0.017880               | 0.007992         |
| 0.508896               | 0.797092         | 0.071100               | 0.056169         | 0.017820               | 0.007939         |
| 0.518504               | 0.857291         | 0.068121               | 0.055178         | 0.017860               | 0.007974         |
| 0.51986                | 0.893403         | 0.067483               | 0.054149         | 0.017880               | 0.007992         |
| 0.514188               | 0.906685         | 0.066845               | 0.053130         | 0.017900               | 0.008010         |
| 0.512028               | 0.899083         | 0.066149               | 0.052030         | 0.017880               | 0.007992         |
| 0.495868               | 0.875347         | 0.065482               | 0.050986         | 0.017860               | 0.007974         |
| 0.476112               | 0.838323         | 0.062524               | 0.049863         | 0.016929               | 0.007939         |
| 0.454155               | 0.792990         | 0.061824               | 0.048753         | 0.016872               | 0.007885         |
| 0.439773               | 0.743561         | 0.061152               | 0.047699         | 0.016796               | 0.007815         |
| 0.41635                | 0.693389         | 0.060452               | 0.046613         | 0.016720               | 0.007744         |
| 0.399056               | 0.663247         | 0.057618               | 0.045540         | 0.016644               | 0.007674         |
| 0.391706               | 0.639040         | 0.056916               | 0.044437         | 0.016530               | 0.007569         |
| 0.37344                | 0.605284         | 0.056214               | 0.043347         | 0.016416               | 0.007465         |
| 0.353158               | 0.564602         | 0.055485               | 0.042230         | 0.016302               | 0.007362         |
| 0.338823               | 0.519697         | 0.054756               | 0.041128         | 0.016169               | 0.007242         |
| 0.316066               | 0.472106         | 0.052000               | 0.040000         | 0.016036               | 0.007123         |
| 0.300978               | 0.428108         | 0.051298               | 0.038927         | 0.015048               | 0.006989         |
| 0.28926                | 0.413192         | 0.050596               | 0.037869         | 0.014904               | 0.006856         |
| 0.28386                | 0.397909         | 0.049868               | 0.036787         | 0.014760               | 0.006724         |
| 0.272008               | 0.382171         | 0.049166               | 0.035759         | 0.014616               | 0.006593         |
| 0.260193               | 0.366146         | 0.048438               | 0.034708         |                        |                  |

Skala Gempa kobe arah x.

$$SF = \frac{\sum_{i=1}^n \bar{A} x A}{\sum_{i=1}^n A x A}$$

$$SF = \frac{57,984907}{116,672072}$$

$$SF = 0,49699$$

Tabel 3.23 Hasil nilai respon spektrum untuk Gempa Kobe arah y scaled

| $\bar{A}_i \times A_i$ | $A_i \times A_i$ | $\bar{A}_i \times A_i$ | $A_i \times A_i$ | $\bar{A}_i \times A_i$ | $A_i \times A_i$ |
|------------------------|------------------|------------------------|------------------|------------------------|------------------|
| ASNI                   | AGRM             | ASNI                   | AGRM             | ASNI                   | AGRM             |
| $x$                    | $x$              | $x$                    | $x$              | $x$                    | $x$              |
| GRDMTN                 | GRDMTN           | GRDMTN                 | GRDMTN           | GRDMTN                 | GRDMTN           |
| 0.8395                 | 3.601265         | 0.254302               | 0.349754         | 0.045850               | 0.033636         |
| 0.87235                | 2.686649         | 0.242550               | 0.333506         | 0.045150               | 0.032616         |
| 0.906368               | 2.624076         | 0.236544               | 0.317194         | 0.044425               | 0.031577         |
| 1.017474               | 2.122558         | 0.224967               | 0.301072         | 0.043700               | 0.030555         |
| 1.120842               | 2.574741         | 0.218940               | 0.285156         | 0.042975               | 0.029550         |
| 1.219465               | 2.821392         | 0.212995               | 0.269880         | 0.040560               | 0.028561         |
| 1.310788               | 2.920681         | 0.201920               | 0.254823         | 0.039864               | 0.027589         |
| 1.390212               | 4.005602         | 0.196120               | 0.240394         | 0.039192               | 0.026667         |
| 1.452992               | 4.470687         | 0.185640               | 0.226576         | 0.038520               | 0.025760         |
| 1.496719               | 3.794704         | 0.180102               | 0.213259         | 0.037848               | 0.024869         |
| 1.522342               | 2.926837         | 0.170202               | 0.200614         | 0.037152               | 0.023963         |
| 1.532197               | 3.111696         | 0.164996               | 0.188530         | 0.036480               | 0.023104         |
| 1.527233               | 3.224179         | 0.159904               | 0.177073         | 0.034316               | 0.022261         |
| 1.509056               | 3.421760         | 0.150849               | 0.166219         | 0.033672               | 0.021433         |
| 1.479053               | 3.561146         | 0.146076               | 0.155867         | 0.033028               | 0.020621         |
| 1.438538               | 3.631692         | 0.141229               | 0.145695         | 0.032384               | 0.019825         |
| 1.389117               | 3.632836         | 0.132948               | 0.136382         | 0.031740               | 0.019044         |
| 1.332761               | 3.570210         | 0.128556               | 0.127520         | 0.031119               | 0.018306         |
| 1.27166                | 3.455137         | 0.120925               | 0.119370         | 0.030498               | 0.017583         |
| 1.208004               | 3.300762         | 0.116935               | 0.111623         | 0.028578               | 0.016874         |
| 1.143472               | 3.119816         | 0.113015               | 0.104264         | 0.027984               | 0.016180         |
| 1.079159               | 2.924442         | 0.106012               | 0.097219         | 0.027412               | 0.015525         |
| 1.015941               | 2.723490         | 0.102306               | 0.090541         | 0.026840               | 0.014884         |
| 0.954694               | 2.524921         | 0.098702               | 0.084274         | 0.026290               | 0.014280         |
| 0.894469               | 2.327150         | 0.092433               | 0.078456         | 0.025718               | 0.013666         |
| 0.826416               | 2.138906         | 0.089100               | 0.072900         | 0.025168               | 0.013087         |
| 0.75187                | 1.957481         | 0.086526               | 0.068749         | 0.023520               | 0.012544         |
| 0.693105               | 1.783827         | 0.085800               | 0.067600         | 0.022995               | 0.011990         |
| 0.638588               | 1.617984         | 0.082560               | 0.066564         | 0.022491               | 0.011470         |
| 0.581922               | 1.460231         | 0.081888               | 0.065485         | 0.021987               | 0.010962         |
| 0.544375               | 1.311483         | 0.081216               | 0.064414         | 0.021504               | 0.010486         |
| 0.509056               | 1.172023         | 0.078027               | 0.063353         | 0.021021               | 0.010020         |
| 0.475335               | 1.042849         | 0.077376               | 0.062300         | 0.020538               | 0.009565         |
| 0.4433                 | 0.924867         | 0.076756               | 0.061306         | 0.020055               | 0.009120         |
| 0.411994               | 0.817216         | 0.076136               | 0.060319         | 0.019593               | 0.008705         |
| 0.38208                | 0.766850         | 0.073080               | 0.059341         | 0.018220               | 0.008299         |
| 0.353469               | 0.728633         | 0.072420               | 0.058274         | 0.017880               | 0.007992         |

Tabel 3.23 Hasil nilai respon spektrum untuk Gempa Kobe arah y *scaled*

(-lanjutan)

| $\bar{A}_i \times A_i$ | $A_i \times A_i$ | $\bar{A}_i \times A_i$ | $A_i \times A_i$ | $\bar{A}_i \times A_i$ | $A_i \times A_i$ |
|------------------------|------------------|------------------------|------------------|------------------------|------------------|
| ASNI                   | AGRM             | ASNI                   | AGRM             | ASNI                   | AGRM             |
| $x$                    | $x$              | $x$                    | $x$              | $x$                    | $x$              |
| GRDMTN                 | GRDMTN           | GRDMTN                 | GRDMTN           | GRDMTN                 | GRDMTN           |
| 0.48952                | 0.712336         | 0.071760               | 0.057217         | 0.017740               | 0.007868         |
| 0.508896               | 0.797092         | 0.071100               | 0.056169         | 0.017820               | 0.007939         |
| 0.518504               | 0.857291         | 0.068121               | 0.055178         | 0.017860               | 0.007974         |
| 0.51986                | 0.893403         | 0.067483               | 0.054149         | 0.017880               | 0.007992         |
| 0.514188               | 0.906685         | 0.066845               | 0.053130         | 0.017900               | 0.008010         |
| 0.512028               | 0.899083         | 0.066149               | 0.052030         | 0.017880               | 0.007992         |
| 0.495868               | 0.875347         | 0.065482               | 0.050986         | 0.017860               | 0.007974         |
| 0.476112               | 0.838323         | 0.062524               | 0.049863         | 0.016929               | 0.007939         |
| 0.454155               | 0.792990         | 0.061824               | 0.048753         | 0.016872               | 0.007885         |
| 0.439773               | 0.743561         | 0.061152               | 0.047699         | 0.016796               | 0.007815         |
| 0.41635                | 0.693389         | 0.060452               | 0.046613         | 0.016720               | 0.007744         |
| 0.399056               | 0.663247         | 0.057618               | 0.045540         | 0.016644               | 0.007674         |
| 0.391706               | 0.639040         | 0.056916               | 0.044437         | 0.016530               | 0.007569         |
| 0.37344                | 0.605284         | 0.056214               | 0.043347         | 0.016416               | 0.007465         |
| 0.353158               | 0.564602         | 0.055485               | 0.042230         | 0.016302               | 0.007362         |
| 0.338823               | 0.519697         | 0.054756               | 0.041128         | 0.016169               | 0.007242         |
| 0.316066               | 0.472106         | 0.052000               | 0.040000         | 0.016036               | 0.007123         |
| 0.300978               | 0.428108         | 0.051298               | 0.038927         | 0.015048               | 0.006989         |
| 0.28926                | 0.413192         | 0.050596               | 0.037869         | 0.014904               | 0.006856         |
| 0.28386                | 0.397909         | 0.049868               | 0.036787         | 0.014760               | 0.006724         |
| 0.272008               | 0.382171         | 0.049166               | 0.035759         | 0.014616               | 0.006593         |
| 0.260193               | 0.366146         | 0.048438               | 0.034708         |                        |                  |

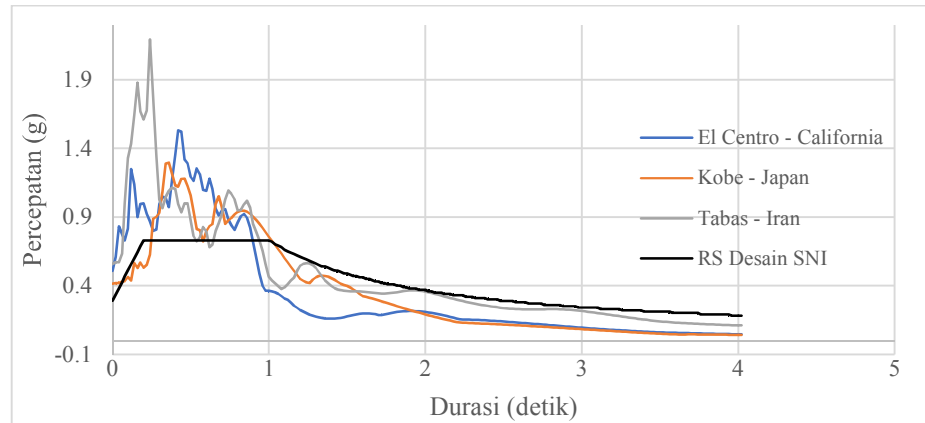
Gempa kobe arah y.

$$SF = \frac{\sum_{i=1}^n \bar{A} x A}{\sum_{i=1}^n A x A}$$

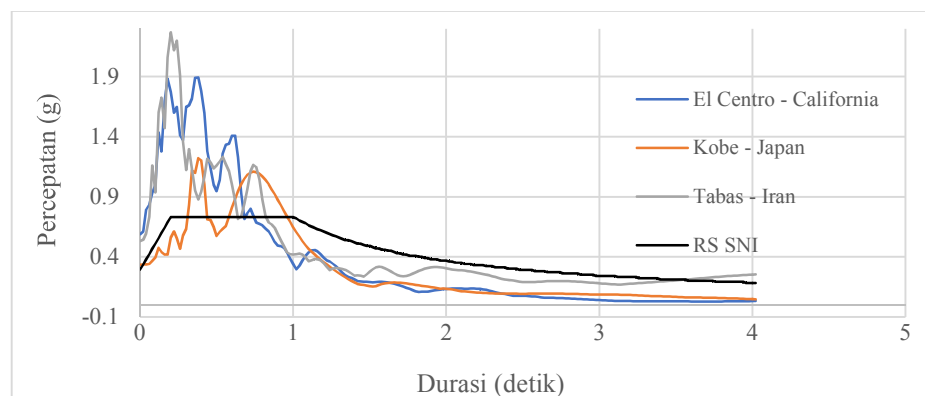
$$SF = \frac{47,587464}{90,11065062}$$

$$SF = 0,5281$$

- c) Pemilihan gempa berdasarkan respons spektrum, melalui gambar 3.24 untuk gempa arah x dan gambar 3.35 untuk gempa arah y, maka dipilih Gempa Kobe Japan karena memiliki respons spektrum yang mendekati spektrum respons desain dalam rentang periode dari  $0.2T-1,5T$  dan memiliki spektrum respon maksimum dari tiap periode-periode tertentu.

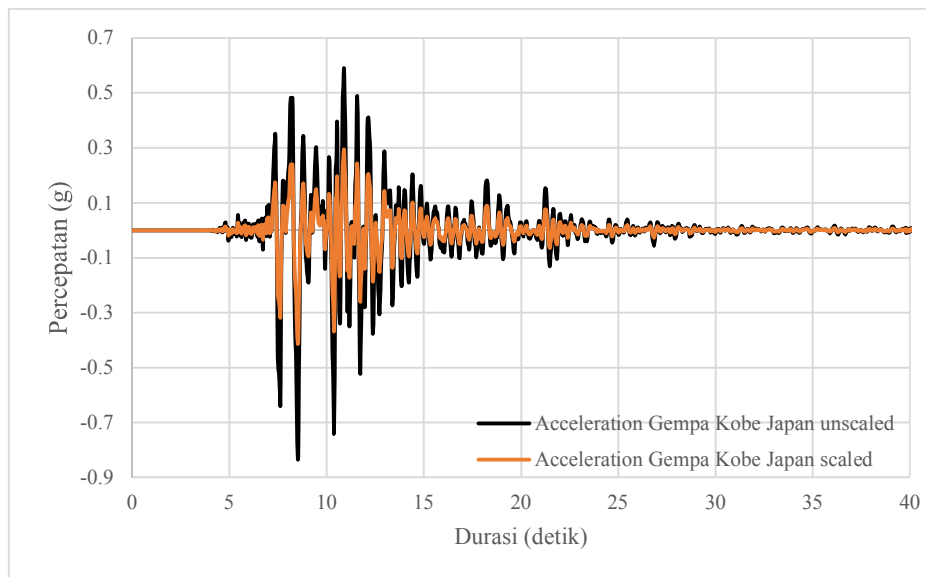


Gambar 3.34 Rekapitulasi grafik respon spektrum arah x *scaled*.

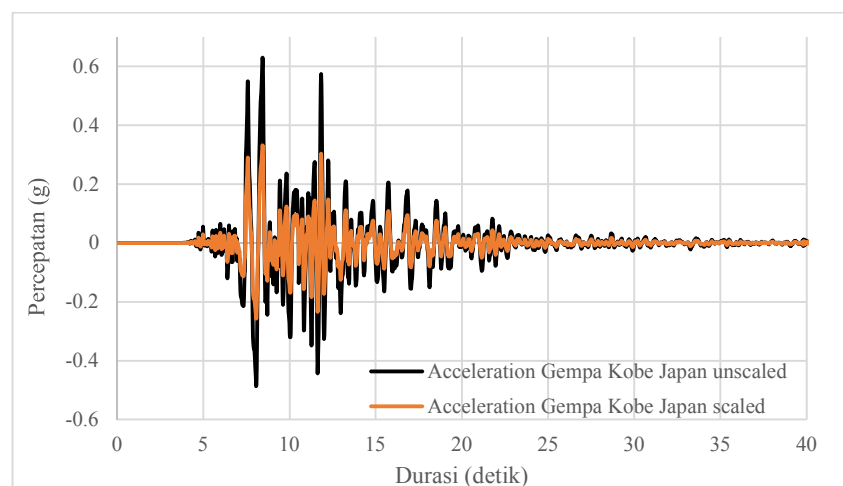


Gambar 3.35 Rekapitulasi grafik respon spektrum arah y *scaled*.

5. Gempa masukan, adalah gempa kobe



Gambar 3.36 *Acceleration* Gempa Kobe Japan arah x *unscaled* dan *scaled*.



Gambar 3.37 *Acceleration* Gempa Kobe Japan arah y *unscaled* dan *scaled*.

6. Penskalaan percepatan gempa (PGA), menggunakan persamaan 2.12  
 Nilai parameter  $F_{PGA}$ , menggunakan gambar 2.34 dengan letak lokasi surabaya didapat  $F_{PGA} = 0,5$  g.

Nilai parameter PGA, menggunakan tabel 2.15, dengan parameter  $F_{PGA} = 0,5$  g dan kelas situs SE (tanah lunak) didapat  $PGA = 1,2$ .

$$PGA_M = F_{PGA} \times PGA$$

$$PGA_M = 0,5 \times 1,2$$

$$PGA_M = 0,6 \text{ g} \rightarrow A_0$$

Nilai parameter R, berdasarkan (BSN, SNI 1726-2012 pada tabel 9), dengan sistem gaya penahan seismik dinding geser bertulang khusus dan parameter KDS didapat  $R = 7$

Nilai parameter KSD menggunakan tabel 2.20 dengan  $S_{DS} = 0,73$  dan  $D_{S1} = 0,73$  didapat kategori desain seismik = D

$$PGA_{M(\text{diskalakan})} = \frac{A_0 \times I_e}{R}$$

$$PGA_{M(\text{diskalakan})} = \frac{0,6 \times 1}{7}$$

$$PGA_{M(\text{diskalakan})} = 0,0857$$

Tabel 3.24 Hasil rekapitulasi skala percepatan gempa

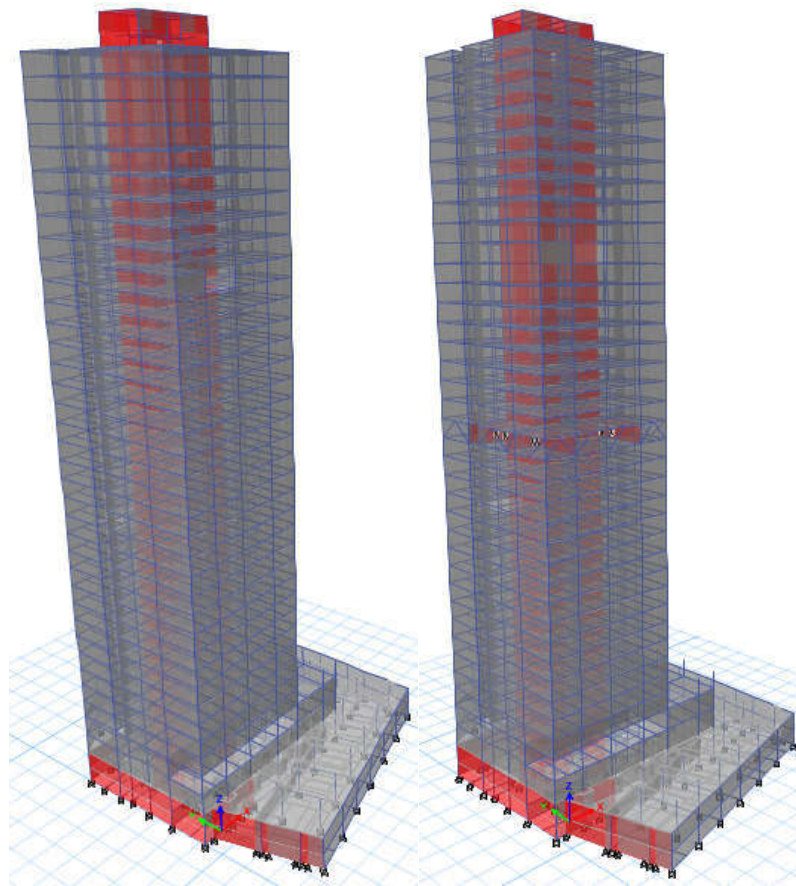
| Data<br>akeselogram | A<br>$PGA_{Mmax} (m/s^2)$ | B<br>$PGA_{MSkala}$ | C<br>$C=B/A$ | D<br>$D=C \times g$ |
|---------------------|---------------------------|---------------------|--------------|---------------------|
| Kobe- x             | 0.293431146               | 0.0857              | 0.29211      | 2.8656              |
| Kobe -y             | 0.332521334               | 0.0857              | 0.25777      | 2.52873             |

### 3.4.2. Pemodelan struktur

Pemodelan struktur dimodelkan sebagai struktur *open frame* dan *shell element*, yang terdiri balok, kolom, dan pelat lantai. Ketiganya dimodelkan secara utuh untuk mendapatkan analisis struktur dan kontrol struktur yang lebih akurat dengan kondisi aslinya. Model struktur dengan modifikasi penambahan sistem *outrigger* dan *belt-truss* menggunakan dua model pemodelan yaitu pemodelan eksisting apartemen dari gambar fortender pada gambar 3.38 kiri dan pemodelan apartemen dengan penambahan sistem *outrigger* dan *belt-truss* pada gambar 3.38 kiri.

Tabel 3.25 Kriteria profil penambahan sistem *outrigger* dan *belt-truss*

| Jenis<br>Sistem   | Ukuran (mm) |       | Mutu       |
|-------------------|-------------|-------|------------|
|                   | Lebar       | Tebal |            |
| <i>Outrigger</i>  |             | 300   | $Fc' = 35$ |
| <i>Belt-truss</i> | 318,5       | 9     | BJ-55      |



Gambar 3.38 Pemodelan apartemen berlantai 33.